# تحليل وتصميم جدران خرسانية مسلحة تحت تاثير احمال العصف

سعد فرحان صالح ماجد \* غيث محمد حسن \*\* حسن خلف صالح \*\*\* \*
\*كلية الهندسة \_ جامعة كركوك \*\*وزارة الأعمار والإسكان \*\*\*وزارة العلوم والتكنولوجيا

#### الخلاصة

اختص هذا البحث بدراسة وتقييم طريقة تحليل وتصميم جدران خلفيه وجانبية لجزء من منشأ خرساني مسلح متعرض الى موجات عصف داخلية. شملت الدراسة تصرف ، سلوك ، استخدامية ، لدونة ، مقدار التحمل ومدى قابلية امتصاص الطاقة لهذه الاجزاء الانشائية المتمثلة بالجدار الخلفي والجدارين الجانبيين لجزء المنشأ وكذلك تحديد سمك تلك الاجزاء وتحديد فو لاذ التسليح من حيث الكمية والشكل واسلوب الربط. ولتحقيق هذا الهدف فقد اعد برنامج عملي يتضمن اجراء فحص ميداني لجزء المنشأ حيث تم تصميم واختبار غرفة صندوقية بابعاد (١٠,٨ × ١٠,٨ × ١٠,٨ × ٣,٣ م × ٣,٣ م وذات اساس شريطي بعرض ( ١,٧٦ قدم) ٥٠,٥ م وسمك ( ١,٨ قدم) ٥٠,٠ م تم تعريضها الى مصدر موجة عصف داخلية زنة الشحنة ( ١٣,٣ باوند ) ١٠ سم للجدار الخلفي والجدران الجانبية حقق الحماية من التشظية والحريق للمتواجدين خارج المنشأ، وهذا يعتبر سم للجدار الخلفي والجدران الجانبية ويعتبر التصميم ناجحا لاستيفاء المتطلبات الأساسية المتوخاة من خلال تقارب المقاومة لموجات العصف الداخلية ويعتبر التصميم ناجحا لاستيفاء المتطلبات الأساسية المتوخاة من خلال تقارب اغلب النتائج النظرية والعملية التي تم الحصول عليها .

## المقدمة

يعد (1300-1969,TM5-1300) دليلا جديدا يعتمد لوضع الحلول ومعالجة المشاكل التي تواجه المنشأت الخرسانية المسلحة عند تعرضها الى احمال ديناميكية عالية مثل التقشر (scabbing) واعتماد الاسلوب الامثل لاستخدام حديد القص والذي يتمثل باستخدام الحديد المتعرج (lacing) كحديد قص بدل الركائب (stirrups) وحسب علم الفريق البحثي بانه لا توجد دراسات سابقة تناولت تقييم هذه الطريقة التي اعتمدها (1969,TM5-1300) في تصميم وتحليل منشأت خرسانية معرضة لموجات عصف داخلية . حسب محدودية التعامل مع هذا النوع من البحوث وكذلك ما تطلبه من دعم مالى كبير .

تعتبر الخرسانة من المواد الإنشائية المميزة لمقاومة العصف حيث كتاتها تعطيها قوة الستمرار (inertia) لمقاومة أحمال العصف العابرة وبذلك فان المنشأت الخرسانية المسلحة تملك الاستمرارية (continuity) والمقاومة لتحمل هذه القوة الجانبية (continuity) ما المستمرارية (continuity) والمقاومة لتحمل هذه القوة الجانبية (unconfined) معتبر محصورة (unconfined) لم يتم معالجتها بحديد تسليح مستعرض وأطواق (Paulay). تبرز أهمية المنشآت الخرسانية المقاومة لموجات العصف الداخلية في الوحدات الصناعية والورش والمخازن التي يحتمل تعرضها إلى موجات عصف داخلية. وللمحافظة على سلامة الأشخاص وتوفير الحماية من التشظية والحريق للمتواجدين منهم خارج المنشأ، فأنه برزت أهمية الحاجة إلى تلك الدراسة وكذلك معرفة معيار الطريقة التصميمية المتبعة (1969,TM5-1300) وما يظهره من عدم تناول معمق في الجانب الاقتصادي من خلال اعتماد سمك مبالغ فيه للجدار الخلفي والجدران الجانبية لذلك المنشأ عند التصميم،على ضوء ذلك تم اعتماد جزء من المنشأ في التصميم،على ضوء ذلك تم اعتماد جزء من المنشأ في التصميم، المسلحة.

## البرنامج العملي

(۱۰۰) طن. اما مقاومة الشد فلم يتم قياسها عمليا للخرسانة لانه لاتوجد هناك نماذج لفحص الانتناء في البحث. وقد أظهرت النتائج أن مقاومة الانضغاط بعمر (۲۸ يوم) هي (۳۰۰۰ باونداانج) ۲۰٫۷ نيوتن املم (2005, Nevile) ،أما فحوصات الحديد فقد اظهر فحص الشد للحديد المستخدم وهي مقاومة الخضوع (۲۷) هي (۲۰۰۰ باوندا انج) أي بحدود ۲۳ نيوتن ا ملم وهي ما اعتمدت في المتطلبات او الفرضيات التصميمية.

#### الفرضيات

ان موقع ووزن الحشوة داخل المنشأ وكذلك مساحة وموقع منافذ التهوية في المنشأ لها تأثير كبير على تعدد انعكاسات موجة العص(1977,Amer;1986,TM5-855-1;1964,Biggs). لتحليل وتصميم جزء المنشأ اعتمدت الاسس النظرية والمحددات التالية:

- ا. لكل عنصر في المنشأ تم تحديد معالم التصميم والشروط الحدودية (conditions)
- 7. نسبة حديد تسليح عموديا وأفقيا ( $\rho$ ) لكل وجه من اوجه الجدار الخلفي والجدر الجانبية. حيث يؤكد (1964, Roy et al) ان وجود حديد التسليح في منطقة الانضغاط يحسن مقاومة العضو الانشائي للدور ان .
- ٣. اعتماد المقاومة الاستاتيكية للمواد في التصميم ( materials).
  - ٤. إيجاد علاقة لمنحني الهبوط والمقاومة للجدار الخلفي والجدران الجانبية:
- أ-حساب ( dynamic design strength ) المقاومة التصميمية الديناميكية للحديد والخرسانة وكما في جدول (1).
- ب-حساب أقصى عزم موجب وسالب للمقطع أفقيا وعموديا (بعد فرض سمك العنصر). ت-اعتماد مبادئ التحليل اللدن.
- ث-إيجاد المنحني المكافئ (المقاومة الهبوط) لكل من الجدار الخلفي والجداران الجانبيان.
- تحديد درجة الحماية المطلوبة ، وتكون عادة بدلالة نسبة المطيلية (ductility ratio)
   تحديد درجة الحماية المطلوبة ، وتكون عادة بدلالة نسبة المطيلية (XM/XE والتي هي النسبة بين أقصى هبوط مسموح إلى الهبوط في نهاية مرحلة المرونة وذلك للتدمير المعتدل المتوسط (moderate damage) النسبة هي (2 إلى 3) (1982, Watson etal ;1969, TM5-1300)

- 7. تفاصيل خاصة لحديد التسليح المتعرج وكذلك لربط مفاصل الجدران الجانبية والخلفية مع السقف لتأمين الترابط لحديد التسليح ومع مكونات عناصر السقف والجدران الجانبية والخلفية وبما يضمن مقاومتها لاجهادات الشد القطري وتوزيع الاحمال والذي يكون عموديا او افقيا على مسند العنصر الإنشائي (1976,Dobbs&COHEN;1969,Keenan) وفق المحددات التالية:
- أ- ان كمية حديد القص المتعرج تعتمد على سعة العنصر الانشائي لكن حجم مقطع الحديد المتعرج هو دالة لمساحة الحديد والمسافة (spacing) المطلوبة .
  - ب- ان الحديد المتعرج يجب ان يوضع بشكل عمودي على مسند العضو الانشائي.
- ت- يجب ان يصنع بدون تركيز في الاجهاد على نقاط الثني وبدون استخدام الحرارة
   في ثنيه.
- ث- نصف قطر زاوية الثني للحديد المتعرج يجب ان يكون اقل من ثـــلاث مــرات قطر الحديد المتعرج.
- ج- ان الوصل (splice) بين الحديد المتعرج يجب ان لا يقل طوله عن ( ٤٠ قطر الحديد المتعرج ) وان تطوى هذه الوصل على الاقل على ثلاث نقاط لحديد انثناء مستعرض .
- ح- ان طول الحديد المتعرج ( Le ) بين نقطتي ثني وزاوية ميلانه بحسب العلاقــة  $Ll = Sl (2Rl + Do)\sin\alpha/\cos\alpha + \pi(2Rl + Do)(\alpha/180)$  التالية

## ٧. التحليل الديناميكي:

- أ-عندما يكون ضغط العصف اقل من (٢٠٠ باوندا انج ١,٣٧٩(نيوتن/مم يجب أن يستخدم التحليل الديناميكي لعلاقة ضغط العصف مع الزمن حيث يتم تحويل العنصر الإنشائي إلى نظام مكافئ ذي درجة حرية حركة احادية
- تحويل العلاقة بين ضغط العصف والزمن الفعلي المسلط إلى صيغة مكافئة له.
- ايجاد نسبة ومعامل المطيلية، فإذا كانت اكبر من المعدل المعتمد فانه يتم زيادة سمك الجدر إن الجانبية و الخلفية.
- يتم ايجاد المقاومة لنسبة مطيلية مقبولة من منحني العلاقة ما بين المقاومة و الهبوط لذلك العنصر ( الجدر إن الجانبية أو الخلفية ).

- بالاعتماد على قيمة المقاومة من منحني الهبوط والمتانة يتم حساب اجهاد القص المقابلة للسمك الموثر (at distance d) وباستخدام نظرية خط الخضوع ثم مقارنة النتائج مع الحدود المسموح بها فاذا كانت اجهادات القص اكبر من الحدود المسموح بها فانه يتم اعتماد حديد قص متعرج (lacing). بالإمان نخط العصف اكبر من (۲۰۰ باوند / انج ۲) فأن العنصر (الجدار الخلفي والجدران الجانبية) يجب إن يصمم لمقاومة الدافع (impulse) بالإضافة الى دالة (pressure-time)لذلك فان لهذا المستوى العالي من الضغط فالمصادر توصي باعتماد أبحاث علمية ونظرية يجب ان تعتمدها:1300 -1300, 1969, 1986, 1986, 1985, 1300, Ching, etal; 2001, Paz etal; 2004, dari)
- ٨. لمنع التقشر (scabbing) فأن اقصى درجة دوران للمسند مسموح بها هي 5° حيث ان المصدر ( scabbing) اوصى باعتماد الحديد المتعرج عندما يتعرض المسند الى تدوير اكثر من ٢٠.

# النتائج العملية

قبل إجراء التجربة تم صبغ المنشأ بصبغ بنتيلايت ابيض لملاحظة التشققات بوضوح، بعد حصول عمر الخرسانة (28) يوم تم نصب مقياس انحراف في المناطق التي يحتمل ان تتعرض الى اعلى هبوط في الجدران الجانبية والجدار الخلفي وهو المقياس من نوع(stopper dial gage) كما موضحة في شكل(١)(2)، تم وضع شحنة زنة ٥,١ كغم(٣,٣١ باوند) وعلى ارتفاع(٣,٢٨ تقدم) ام عن الارضية وعلى بعد (٤١، ٥ قدم) من الجدار الخلفي والجدران الجانبية وهذه الوضعية تتلائم مع ما يخزن من هذه المادة في المخازن(scabbing) او تشظية (spalling) من الوجه الداخلي او انهيار للمنشأ وكذلك لم يحصل تطاير (scabbing) الجدار الجانبية لجزء المنشأ وقد دونت النتائج التالية:

- 1. أقصى هبوط لحظي (متبقي) (residual deflection) كما موضح في جدول (2) للجدار الخلفي والجدران الجانبية.
- ٢. التشققات واكبر تشقق متبقى موضح في جدول (3) للجدار الخلفي والجدران الجانبية للمنشأ.
- ٣. اقصى مسافة لتشظية الطابوق هي بحدود ٥٠ م (١٦٤ قدم) امام فتحة المنشأ المبني
   بالطابوق الذي موضح بالشكل (٢)(١) و اكبر سمك لشظية الطابوق هو (٣٩٠، قدم) ١١٧٨ سم .

# الحسابات النظرية (التحليل والتصميم)

# ١ – الجدار الخلفى:

وزن الحشوة W= 3.31 باوند =1.5 كغم.

معدل ارتفاع الجدار الخلفي (back wall) عن مستوى الارض =( 8.52 قدم) ٢,٦ متر.

مقاومة انضغاط الخرسانة (f'c)=(f'c) باوند \ انج (f'c) نيوتن \ ملم

مقاومة الحديد للخضوع (fy) = (fy) + (i + 1) باوندا انج (fy) = (fy) نيوتن ا ملم (fy)

معامل المطيلية (Ductility ratio) - ٢,٠= طبقا لمتطلبات مصدر التصميم(1969,TM5-1300).

موقع الحشوة بالنسبة للجدار (RA) = (RA) قدم) مرقع الحشوة بالنسبة للجدار

طول الجدار ( L ) = (  $\pi,\pi$  متر .

. ارتفاع الجدار (H) = (7,7) قدم ۲,٦ متر

ارتفاع الحشوة عن اقرب مصد (h) = ( ۲۰۲۸ قدم) ١ متر.

بعد الحشوة عن اقرب مصد جانبي (1) = (0,٤١ قدم)١,٦٥ متر.

الشكل (٣) يوضح مسقط افقى و مقطع عمو دى و موقع الحشو ه للجدار الخلفى.

لإيجاد ضغط العصف ، الزمن واستمرار فترة العصف.

 $ZA=RA/W^{1/3}=5.41/(3.31)^{1/3} = \xi ft/1b = 0.234 M/N$ 

I/L = 0.5

h/H = 0.38

L/H = 1.26

L/RA = 2.06

ومن قيم مختلفة اكثر من واقل من ( I/L ,h/H,L/H ) موجودة في الاشكال ( $\Lambda$ ،۷،٦،٥،٤ ) حيث يتم اسقاط قيم L/R على منحني قيمة L/R للحصول على i الملائمة ومن المخططات المشار اليها اعلاه ولقيم مختلفة من h/H يمكن قراءة قيم مختلفة من i ولقيمة h/H يمكن المطلوبة وبعملية الاندر اج ( h/H يمكن ايجاد h/H يمكن ايجاد h/H المطلوبة h/H المطلوبة h/H المعلوبة h/H المعلوبة الاندر اج ( h/H ) ومعملية الاندر اج ( h/H ) المعلوبة المعل

ومن شكل رقم(٩) (1969,TM5-1300) ومن قيمة z=7,77= يتم ايجاد قيمة (tA)A/ $w^{1/3}$  =0.68

و هو زمن الحمل المسلط على اقرب نقطة على الجدار

(tA) A = 1.49\* 0.68 = 1.013 millisecond

# امد الحمل على الجدار الخلفى:

لإيجاد الزمن(Duration) أو فترة استمرار موجة العصف على الجدار الخلفي  $R=[(h)^2+(RA)^2+(H-h)^2]^{1/2}=[(5.41)^2+(5.41)^2+(8.52-3.28)^2]^{1/2}=(9.28 ft)2.82m$  المسافة من نقطة العصف الى ابعد نقطة في الجدار

 $Z=R/W^{1/3}=9.28/1.49=(6.22)=0.28/1.49=6.22$  معامل البعد لاقصى نقطة من الجدار عن مركز العصف ft/lb)0.425m/k

ومن الشكل (٩) (1969,TM5-1300) يتم ايجاد

 $tA)F/W^{1/3}$  e so in the lambda state of th

معامل تم الحصول عليه من الشكل ليمثل اقصى امد بقاء لموجة العصف على الجدار  $to/W^{1/3}=1.35$ 

tA) F=3.16

 $t_{\rm o}) F/W^{1/3} = 1.35$ 

 $t_0$ ) F=1.49\*1.35 = 2.01 millisecond

 $t_o$ =tA)F-tA)A + 1.5 to)F=Duration اقصى امد بقاء لموجة على الجدار الجانبي  $t_o$  = 3.16-1.074 + 1.5 (2.13) = 5.1 millisecond

ib=i b\*weight of charge

ib=  $120*3\sqrt{3.31}=178.8$  psi millisecond

 $p_o = 2* ib/to = 2* 178.8/5.1 = (70.12 psi) 0.483 Mpa$ 

والشكل (١٠) يوضح طبيعة العلاقة بين ضغط العصف وامد بقائه.

# اختيار المقطع العرضي للجدار الخلفي

بما ان ضغط العصف = ( ۷۰,۱۲ باوند/انج ٔ ) ۴۸۳، نیوتن ۱ ملم ٔ لذلك فهو معتدل لانه اقل من (۲۰۰ باوند / انج ٔ ) ۱,۳۷۹ نیوتن ۱ ملم ٔ لو فرضنا ان سمك الجدار الخلفي ۲۰ سم = ۲۸،۰ قدم ونسبة حدید التسلیح = ۰,۰۰۲۰

Depth at positive Horizontal [dp)H] =(0.699 ft) 212 mm

Depth at negative Horizontal [dN) H] =( 0.734 ft) 223 mm

Depth at positive vertical [dp)V = (0.629 ft) 191 mm

Depth at negative vertical [dN)V] = (0.695 ft) 211 mm

Average = (0.682 ft) 207 mm

As =  $0.0025*12*0.734*12 = \rho$  bd =  $(0.264 \text{ inch}^2) 170.3 \text{ mm}^2$ 

لذلك يتم استعمال حديد تسليح قطر (نصف انج) ١٢ ملم لكل (٧,٩ انج) ٢٠ سم مسافة ما بين حديد التسليح وكما موضح في الشكل (١١).

### عمق محور الإجهاد:

a = As \* fds / 0.85bfdc'

a= 0.264\* 60000\* 1.1/0.85\* 12\* 1.25\*3000 = (0.472 inch) 12 mm

M = As \* fds(d - a/2)/b Ultimate moment capacity

علما ان b هي عرض الوجه المعرض للانضغاط = ١٢ انج

Moment at Positive edge horizontally[MP)H]=(11326 lb in/in)50822N.m/m Moment at Negative edge horizontally[MN)H]=(12459 lb in/in)55956 N.m/m Moment at Positive edge Vertically [MP)V]=(10629 lb in /in)47742 N.m/m Moment at Negative edge Vertically [MN)V]=(11779 lb in/in)52876 N.m/m

# موقع خط الخضوع:

يتم ايجاده من خلال شكل (12) (1969,TM5-1300) ومن العلاقة:

 $L/H [MN)V+MP)V/MN)H+MP)H]^{1/2} = 1.23$ 

X/L = 0.45

X = 0.45\*10.82 = (4.9 ft)1.5 m.

والشكل (١٣) يبين طبيعة وموقع خطوط الخضوع (الفشل) للجدار.

ومن جدول (٤) (1969,TM5-1300) يتم ايجاد قيمة Ru حيث انه يغطى جميع العزوم اعلاه

Ru=5[MN)H+MP)H)]/(X)<sup>2</sup>=5(12459+11326)/(4.92)<sup>2</sup> =( $\%\xi,\xi$  lb/ft<sup>2</sup>)237284 N/m<sup>2</sup> Or

 $Ru=8[MN) V+MP)V](3X-L)/H^2 (3L-4X) = (37.18 lb/ft^2)256468 N/m^2$ 

 $Ec = w^{1.5} * 33 * \sqrt{fc'}$ 

= (3528415 psi)22376Mpa

Es= Modulus of elasticity of steel

 $= (29*10^6 \text{ psi}) 200000 \text{ Mpa}$ 

n= Es/Ec=9,  $Ig=(3123 \text{ inch}^4)0.0013 \text{ m}^4 = \text{gross moment of inertia}$ 

=As/bd  $= 0.264/12*0.682*12=0.0026 <math>\rho$ 

ثم من الشكل(٤) (1969,TM5-1300).يتم الحصول على المعامل 1969,TM5-1300) ثم من الشكل

 $Ic=F*b*d^3=0.018*12*(0.0.682)^3=(389 inch^4)0.000162 m^4$ 

Moment of inertia for cracked section:-

 $Ia= (Ig+Ic)/2 = 389+3126/2 = (3515 inch^4)0.000731 m^4$  Average moment of inertia

Determination of the actual and equivalent (R-X) function in the elasto – plastic region.

 $\beta 1H = 0.0225, \beta 2 = 0.056, \ \beta 3 = 0.068, \ \gamma 1 = 0.00188, \ \beta 1\nu = 0.0325, \ r = M/BH$ 

	MP)H	MN)H	MN)V	MP) V
	$\beta$ 1 $H$	$\beta 2$	$\beta$ 3	$\beta$ 1 $V$
of Re	(11326) 50822/0.0225H <sup>2</sup>	(12459)55956/ 0.056H <sup>2</sup>	(11779)5287 6/0.068H <sup>2</sup>	(10629)477 42/0.0325H <sup>2</sup>
Value (Ib/inc N/m²	(503377)225875 5/H <sup>2</sup>	(415300)9992 14/H <sup>2</sup>	(214264)777 588/H <sup>2</sup>	(366517)14 68984/H <sup>2</sup>

Re=M/  $\beta$  \*H<sup>2</sup>=11779/0.68\*(8.52\*12)<sup>2</sup>=(16.68psi)115027 N/m<sup>2</sup> the first yield at point (3)

MN)H atpoint (2) =  $0.056*16.68(8.52)^2*144 = (9764 \text{ ib in/in}) 43544 \text{ N.m/m}$ 

MP)V At point (1) =  $0.0325*16.68 (8.52)^2*144 = (5666 ib in/in)25271$  N.m/m

MPH At point (1) =  $0.0225*16.68 (8.52)^2*144 = (3923 \text{ ib in/in})17495 \text{ N.m/m}$ 

والشكل (١٦) يمثل مواقع العزوم والمعاملات المؤثره على حدود الجدار.

D = flexural Rigidity = Ec.Ia/b(1- $v^2$ ) = (13256243ib ft)17974567 N.m Xe =  $\gamma$ -Re-H<sup>4</sup>/D = 0.0018 Deflection at first yield

 $= 0.0018*16.68*(8.52)^{4}*(12)^{3}/13256243$ 

= (0.02 inch) 0.508 mm

الهبوط عند اول خضوع

# خواص الجدار الخلفي عند ثاني خضوع:

بعد أول خضوع تفرض الحالات التالية وحسب متطلبات المصدر (1969,TMs-1300): Two opposite edges simple supported and two edges fixed.

إذا من الشكل (١٧) (1969,TM5-1300)ومن العلاقة H/L =0.78 يستم ايجاد معاملات الحسائة التالية:-

 $\beta 1V = 0.0255$ ,  $\beta 2 = 0.057$ ,  $\beta 1H = 0.026$ ,  $\gamma 1 = 0.0014$ ,  $\nu = 0.3$ 

```
\Delta M at point (2) = 12459 - 9764 = (2695 lb.in/in)12412 N.m/m
 \Delta M at point (1) = 10629 - 5666 = (4963 \text{ lb.in/in})22471 \text{ N.m/m}
 \Delta M at point (1) H = 11326 – 3923 = (7403 lb.in/in)33327 N.m/m
 \Delta R (2) = \Delta M2 / \beta 2H^2 = 2695/0.057(10.82)^2 * 144 = (2.89 \text{ psi})19995 \text{ N/m}^2
 \Delta R (1) V = \Delta M1/\beta 1H^2 = 4963/0.0255*(10.82)^2*144=(11.73psi)80919N/m^2
 \Delta R (1) H = \Delta M 1/\beta 1 H^2 = 7403/0.026*(10.82)^2 *144 = (17.06psi)117705 N/m^2
 So second yield at point (2)
Rep = Re + \Delta R
Rep = 16.68 + 2.89 = (19.57 psi)135022 N/m^2
           الحمل المؤدي الى اول خضوع في المرحلة المرنة-اللدنة.الشكل (١٨)يوضح مواقع العزوم
                                                                                                                                   المؤثره في تلك المرحله
MH at point (1) = 0.026*2.89*(10.82)^2*144=(1273 \text{ lb.in/in})5661 \text{ N.m/m}
MV at point (1) = 0.0255*2.89*(10.82)^2*144=(1248 \text{ lb.in}/\text{in})5552 \text{ N.m/m}
\DeltaMH (1) = 7403 – 1273 = (6130 lb .in / in)27666 N.m/m
\Delta MV(1) = 4963 - 1248 = (3715 \text{ lb.in/in})16919 \text{ N.m/m}
D = 13256243 lb.ft
\Delta X = \gamma 1^* \Delta R^* H^4 / D = 0.0014^* 2.89^* (10.82)^4 * (12)^3 / 13256243 = (0.00727)^4 (12)^4 (12)^4 (12)^4 (12)^4 (12)^4 (12)^4 (12)^4 (12)^4 (12)^4 (12)^4 (12)^4 (12)^4 (12)^4 (12)^4 (12)^4 (12)^4 (12)^4 (12)^4 (12)^4 (12)^4 (12)^4 (12)^4 (12)^4 (12)^4 (12)^4 (12)^4 (12)^4 (12)^4 (12)^4 (12)^4 (12)^4 (12)^4 (12)^4 (12)^4 (12)^4 (12)^4 (12)^4 (12)^4 (12)^4 (12)^4 (12)^4 (12)^4 (12)^4 (12)^4 (12)^4 (12)^4 (12)^4 (12)^4 (12)^4 (12)^4 (12)^4 (12)^4 (12)^4 (12)^4 (12)^4 (12)^4 (12)^4 (12)^4 (12)^4 (12)^4 (12)^4 (12)^4 (12)^4 (12)^4 (12)^4 (12)^4 (12)^4 (12)^4 (12)^4 (12)^4 (12)^4 (12)^4 (12)^4 (12)^4 (12)^4 (12)^4 (12)^4 (12)^4 (12)^4 (12)^4 (12)^4 (12)^4 (12)^4 (12)^4 (12)^4 (12)^4 (12)^4 (12)^4 (12)^4 (12)^4 (12)^4 (12)^4 (12)^4 (12)^4 (12)^4 (12)^4 (12)^4 (12)^4 (12)^4 (12)^4 (12)^4 (12)^4 (12)^4 (12)^4 (12)^4 (12)^4 (12)^4 (12)^4 (12)^4 (12)^4 (12)^4 (12)^4 (12)^4 (12)^4 (12)^4 (12)^4 (12)^4 (12)^4 (12)^4 (12)^4 (12)^4 (12)^4 (12)^4 (12)^4 (12)^4 (12)^4 (12)^4 (12)^4 (12)^4 (12)^4 (12)^4 (12)^4 (12)^4 (12)^4 (12)^4 (12)^4 (12)^4 (12)^4 (12)^4 (12)^4 (12)^4 (12)^4 (12)^4 (12)^4 (12)^4 (12)^4 (12)^4 (12)^4 (12)^4 (12)^4 (12)^4 (12)^4 (12)^4 (12)^4 (12)^4 (12)^4 (12)^4 (12)^4 (12)^4 (12)^4 (12)^4 (12)^4 (12)^4 (12)^4 (12)^4 (12)^4 (12)^4 (12)^4 (12)^4 (12)^4 (12)^4 (12)^4 (12)^4 (12)^4 (12)^4 (12)^4 (12)^4 (12)^4 (12)^4 (12)^4 (12)^4 (12)^4 (12)^4 (12)^4 (12)^4 (12)^4 (12)^4 (12)^4 (12)^4 (12)^4 (12)^4 (12)^4 (12)^4 (12)^4 (12)^4 (12)^4 (12)^4 (12)^4 (12)^4 (12)^4 (12)^4 (12)^4 (12)^4 (12)^4 (12)^4 (12)^4 (12)^4 (12)^4 (12)^4 (12)^4 (12)^4 (12)^4 (12)^4 (12)^4 (12)^4 (12)^4 (12)^4 (12)^4 (12)^4 (12)^4 (12)^4 (12)^4 (12)^4 (12)^4 (12)^4 (12)^4 (12)^4 (12)^4 (12)^4 (12)^4 (12)^4 (12)^4 (12)^4 (12)^4 (12)^4 (12)^4 (12)^4 (12)^4 (12)^4 (12)^4 (12)^4 (12)^4 (12)^4 (12)^4 (12)^4 (12)^4 (12)^4 (12)^4 (12)^4 (12)^4 (12)^4 (12)^4 (12)^4 (12)^4 (12)^4 (12)^4 (12)^4 (12)^4 (12)^4 (12)^4 (12)^4 (12)^4 (12)^4 (12)^4 (12)^4 (12)^4 (12)^4 (12)^4 (12)^4 (12)^4 (12)^4 (12)^4 (12)^4 (12)^4 (12)^4 (12)^4 (12)^4 (12)^4 (12)^4 (12
in)0.0001847 m
Xep = xe + \Delta x = 0.02 + 0.00727 = (0.0288 in)0.000734 m
                                                                                                        الخضوع النهائي أو (الخضوع الثالث):
                  بعد ثاني هبوط يصبح الجدار ذو مسند بسيط من جهاته الاربعة(1300-1969,TMs)
      فمن شكل (19) (1969,TM5-1300) ومن خلال اعتماد 4.٧٨ = ٢٨٠ يتم ايجاد معاملات
                                                                                                                                                     الحسائة التالية
\beta 1V = 0.068, \gamma 1 = 0.00625, \beta 1H = 0.051
Ru = (34.4 \text{ psi}) 0.237 \text{Mpa}
                                                                                                                                تم ایجادها من جدول (٤)
MH1 = 1273 + 3923 = (5196 lb.in/in)23156 N.m/m
MV1 = 1248 + 5666 = (6914 lb .in / in)30823 N.m/m
(\Delta R)H1 = 5163/0.051 (10.82)^2 * 144 = (6.04 \text{ psi})41693 \text{ N/m}^2
(\Delta R)V1 = 3715/0.068*(10.82)^2*144=(3.24 \text{ psi})48799 \text{ N/m}^2
Re p'=Rep+\DeltaR=19.57+3.24=(22.81 psi)176715 N/m<sup>2</sup>
        وهي مقاومة الجدار الاحمال العصف عندما يفشل وتصبح عوامل الجسائة غير مؤثرة وتبقى
                                                          عوامل الجسائة مؤثرة لمقاومة احمال العصف في المرحلة اللدنة
```

 $\Delta X = 0.00625 * 3.24*(10.82)^4*(12)^3/13256243=(0.036 in) 0.00171 m$ .

 $X\bar{e}p = Xep + \Delta X = 0.0288 + 0.036 = (0.0648 \text{ in})0.00244 \text{ m}$ .

 $\Delta R = Ru\text{-Rep} = 34.4\text{-}22.8\text{=}(11.59 \text{ psi}) 60569 \text{ N/m}^2.$  $\Delta X = \gamma 1*\Delta R*H^4/D = 0.00625*11.59*(10.82)^4*(12)^3/13256243\text{=}(0.129 \text{ in})0.00249 \text{ m}.$ 

 $Xp = X\bar{e}p + \Delta X = 0.096 + 0.036 = (0.165 \text{ in})0.00493 \text{ m}.$ 

XE = Xe (Rep/Ru) + Xep (1-Re/Ru) + Xp (1-Rep/Ru)

XE = 0.02(19.57/34.4) = 0.0288\*(1-16.68/34.4) = 0.165(1-19.57/34.4) = (0.097 in) 0.0028159m

حيث يمثل XE الهبوط المكافئ المستنتج للجدار الخلفي والشكل (٢٠) يوضح منحني الحمل - الهبوط للجدار الخلفي

 $KE = Ru/XE = 34.4/0.097 = (354.6 lb / in^3)84292718 N/m^3$  Equivalent stiffness = effective mass of element

من جدول (٥) (1969,TM5-1300) يتم ايجاد :-

Effective mass of element:-

KLM) elastic = 0.65 - 0.16(L/2H-1) = 0.653

KLM) elasto-plastic = 0.65-0.186 (L/2H-1) = 0.65

KLM) plastic = 0.6

KLM) average = 0.635

Unit mass = weight of concrete  $Tc/g = 150*0.82*10^6/32.2*(12)^3$ 

 $(=2210.5 \text{ lb.mille.second}^2/\text{in.}^3) 600 \text{ kg/m}$ 

Natural period=Tn =  $2*\pi$  [(unit mass) \*KLM/K)]<sup>1/2</sup>

 $=(2*3.14*403.3*0.635/536198.4)^{1/2}$ 

Tn = 15.67 mill second

 $T_0 \, / Tn = 5.07 / 15.67 = 0.336$ 

 $P_0 / Ru = 70.1/34.4 = 2.08$ 

ثم من العلاقة ما بين  $T_0$  /Tn من الشكل (21) (21)  $P_0$  Ru من البحاد  $T_0$  /Tn ثم من العلاقة ما بين  $T_0$  /Tn و  $T_0$ 

XM/XE = 2.85

اقصيي هيوط عابر (وقتي) 0.00699 m. (وقتي) XM = 2.85\*0.097 =(0.276 in)

TM/Tn = 0.52

Tm = 0.52\*15.67 = 8.14 mille, second

TM/T = 8.14/5.28

3 > Tm/T > 0.1

Correct procedure was used

# إيجاد الشد القطري على مسافة (d) من نقطة الاسناد:

De/x = 0.734/4.92 = 0.143

ثم من جدول (٦)(1969,TM5-1300) يتم ايجاد اقصى اجهاد قص افقي من المعادلة التالية: VUH = 3Ru(1-2de/H)(2-X/L-2de~X/LH)/de/L(3-X/L-8de~X/LH) = 120psi ثم يتم ايجاد أقصى إجهاد قص بالاتجاه العمودي ومن نفس الجدول اعلاه.

De/H = 0.734/8.52 = 0.086

VUV = [3Ru(0.5-de/H)(1-X/L-2DeX/HL)]/[de/H(3-X/L-8DeX/HL)] = (17.5psi)0.12 N/mm<sup>2</sup>

 $Vc = \Phi[1.9(F_c)^{0.5} + 2500 \text{As/bd}] = (95 \text{psi})0.655 \text{ Mpa}$ 

VUH >Vc : lacing is required horizantlly

VUV<Vc lacing is not required vertically

## تصميم حديد القص المتعرج:

لتصميم الحديد المتعرج الافقي فالمسافه بين حديد الانثناء المستعرض ( $S_1$ ) تساوي 20 سـم (7.87inch) و المسافة بين مركزي حديد الانثناء الطولي ( $d_1$ ) تساوي (8.74inch) سم . نفرض ان الحديد المتعرج هو بقطر ( $D_0$ ) مساويا و المساويا الحديد المتعرج هو بقطر ( $D_0$ ) مساويا و المساويا الحديد المتعرج هو بقطر ( $D_0$ ) مساويا و المساويا و الم

Min.  $R_1=3D_0=3*3/8$ inch=(9/8inch)29 mm  $S_1/d_1=7.87/8.74=0.9$   $(2*R_1+D_0)/d_1=0.3$ 

من شكل (۲۲) (1969,TM5-1300) يتم ايجاد  $\alpha$  والتي تساوي من شكل

 $Av = (VUH - Vc) * d_1 * S_1/\Phi * Fs(\sin\alpha + \cos\alpha) =$ 

 $((120-95)*8.74*7.87)/0.85*60000(0.788 + 0.615) = (0.0244 in^2)15.7 \ mm^2 \\ min.Av = 0.0015*b_1*Sl = 0.0015*7.87*7.87 = (0.093 \ in^2)60 \ mm^2$ 

يتم استخدام حديد قطر (3/8in) ١٠ ملم الذي يحقق مساحة تساوي (٧٠,٩ (0.11in²) ملم تفاصيل عامة عن حديدي القص المتعرج وكذلك ما تم تنفيذه في البحث من الية ربط ما بين الجدران الجانبية والجدار الخلفي بالاضافية الى حديد الانتناء في وجهي الجدار موضح في الاشكال (٢٦،٢٥،٢٤،٢٣)

# ٢ - الجدران الجانبية:

الشكل (٢٧) يوضح مسقط افقي ومقطع عمودي في الجدار الجانبي وموقع الحشوة. وزن الحشوة W=(٣,٣١) باوند) ١,٥ كغم .

معدل ارتفاع الجدار الجانبي (side wall) عن مستوى الارض = (۸,۵۲ قدم) ۲,٦ متر. مقاومة انضغاط الخرسانة (fc) = ( $^{7}$  باوند \ انج  $^{2}$  ) ۲۰,۷ نیوتن \ ملم  $^{7}$  . مقاومة الحدید للخضوع ( $^{7}$ ) = ( $^{7}$  باوند\ انج  $^{2}$  ) ۲۱,٤ نیوتن \ ملم  $^{7}$ .

معامل المطيلية (Ductility ratio)=٠,٠حابقا لمتطلبات مصدر التصميم (1300-1969,TM5).

موقع الحشوة بالنسبة للجدار (RA) = (١,٦٥ قدم) ١,٦٥ م .

طول الجدار ( L ) = ( L متر .

ارتفاع الجدار ( H ) = ( ۱۰,۸۲ قدم)3.3 متر.

ارتفاع الحشوة عن اقرب مصد (h) = (1,70 قدم) ١,٦٥ متر.

بعد الحشوة عن اقرب مصد جانبي (1) = (٣,٢٨ قدم) ١ متر .

لإيجاد ضغط العصف ، الزمن واستمرار فترة العصف.

 $ZA=RA/W1/3=5.41/(3.31)^{1/3} = (3.7\%t/1b)0.234 \text{ m/N}$ 

I/L = 0.83

h/H = 0.5

L/H = 0.78

L/RA = 1.57

ومن قيم مختلفة اكثر من واقل من ( I/L , I/H ) تم اسقاطها على المخطط شكل رقم ( 28 ) للحصول على  $i\dot{b}$  على  $i\dot{b}$  الملائمة ومن المخططات المشار اليها اعلاه ولقيمة  $i\dot{b}$  ، v0 = v1 المحلوبة وبعملية الاندراج v1 = v1 = v2 ( interpolation ) يمكن ايجاد v3 = v4 = v6 المحلوبة وبعملية الاندراج v6 = v7 = v8 المحكن ايجاد v9 = v9 = v9 = v9 المحكن ايجاد v9 = v9 المحكن ايجاد v9 = v9 = v9 المحكن المحكن ايجاد v9 = v9 = v9 المحكن المحك

i b = 90 psi .m sec./ w  $^{(1/3)}$ 

0.64 = tA)  $A/w^{(1/3)}$  ومن شكل رقم (9) ومن قيمة z=7.77 = 0.64 ومن شكل رقم (1969,TM5-1300) ومن قيمة z=7.77 = 0.64

و هو زمن الحمل المسلط على اقرب نقطة على الجدار = 0.95 millisecond

# امد الحمل على الجدار الخلفي:

لإيجاد الزمن (Duration) او فترة استمرار موجة العصف على ابعد نقطة من الجدار الجانبي  $R=[(h)^2+(RA)^2+(H-h)^2]^{1/2}=[(5.41)^2+(5.41)^2+(10.82-5.41)^2]^{1/2}=(9.23ft)2.82 m.$  المسافة من نقطة العصف الى ابعد نقطة في الجدار

معامل البعد أقصى نقطة من الجدار عن مركز العصف

 $Z=R/W^{1/3}=9.23/1.49=(6.17 \text{ ft/lb})0.425 \text{m/N}$ 

ومن الشكل (9)(1300-1969,TM5) يتم ايجاد

و هو زمن تسليط الحمل لموجة العصف على ابعد نقطة من الجدار

 $tA)F/W^{1/3} = 3.16$  millisecond

معامل تم الحصول عليه من الشكل ليمثل اقصى امد بقاء لموجة العصف على الجدار to) $F/W^{1/3}=1.3$ 

tA)A = 0.98

tA)F=3.16

to)F=1.49\*1.3=1.93 millisecond

to = tA)F-tA)A + 1.5 to )F = Duration اقصى امد بقاء لموجة على الجدار الجانبي to = 3.16-0.98 + 1.5 (1.93)= 5.07 mille. Second  $p_o = 2*$  ib/to =2\* 92\*1.49/5.07 =( 54.07 psi)0.3728 Mp

والشكل (٢٩) يوضح طبيعة العلاقة بين ضغط العصف وامد بقائه.

# اختيار المقطع العرضي للجدار الجانبي

بما ان ضغط العصف=(٢٠٠٧) باوند/انج معتدل الله فهو معتدل الانه اقل من (٢٠٠٠باوند/انج) بما ان ضغط العصف=(٢٠٠٠) ونيوتن المم أن الله فهو معتدل التسليح ٥٤٠٠٠) بنيوتن الملم ألو فرضنا ان سمك الجدار الجانبي (٢٠,٠٠٠ قدم) ٢٥سم ونسبة حديد التسليح (٢٠٠٠٠)

Depth at positive Horizontal [dp)H] = (0.699 ft)20.4 cm

Depth at negative Horizontal [dN) H] = (0.734 ft)22.4 cm

Depth at positive vertical [dp)V] = (0.629 ft)19.2 cm

Depth at negative vertical [dN)V = (0.695 ft)21.2 cm

Average = (0.682 ft)20.8 cm

As =  $0.0025*12*0.734*12 = \rho$  bd =  $(0.264 \text{ inch}^2)5.6\text{cm}^2$ 

لذلك يتم استعمال حديد تسليح قطر (نصف انج١٢ سم لكل (٠ ٧,٩ انج) ٢٠سم مسافة ما بين حديد التسليح وكما موضح في الشكل (٣٠).

# عمق محور الاجهاد

a = As \* fds / 0.85bfdc'

a = 0.264 \* 60000 \* 1.1/0.85 \* 12 \* 1.25 \* 3000 = (0.472 inch).012m

M = As \* fds(d - a/2)/b Ultimate moment capacity

علما ان b هي عرض الوجه المعرض للانضغاط = ١٢ انج

Moment at Positive edge horizontally [MP)H]=(11326 lb in/in)50822 N.m/m Moment at Negative edge horizontally [MN)H]=(12459 lb in/in)55956 N.m/m Moment at Positive edge vertically [MP)V]=(10629 lb in /in)47742 N.m/m Moment at Negative edge vertically [MN)V]=(11779 lb in/in)52876 N.m/m

# موقع خط الخضوع:

من خلال شكل (٣١) ( 1969,TM5-1300) ومن العلاقة يتم ايجاده:

 $L/H [MN)V+MP)V/MN)H+MP)H]^{1/2} = \cdot, \forall \forall \xi$ 

Y/H = 0.63

Y = 0.63\*1.4 = (5.5 ft.)1.673m

والشكل (٣٢) يبين طبيعة وموقع خطوط الخضوع (الفشل) للجدار:

ومن جدول (4) (1969,TM5-1300) يتم ايجاد قيمة Ru

 $Ru=5[MN)V+MP)V)]/(Y)^2=(25.75 psi) 1.776Mpa$  حيث انه يغطي جميع العزوم اعلاه Or

 $Ru=4[(MNH+MPH)*(6H-Y)/L(8H-2Y)] = (25.39 psi)175187 N/m^2$ 

 $Ec = w^{1.5} * 33 * \sqrt{fc'}$ 

=( 3528415 psi ) 22376 Mpa

Es= Modulus of elasticity of steel

 $=(29*10^6 \text{ psi})200000 \text{ Mpa}$ 

n = Es/Ec = 9,  $Ig = (3123 \text{ inch}^4) = gross moment of inertia$ 

=As/bd  $= 0.264/12*0.682*12=0.0026 <math>\rho$ 

(coefficient) F= 0.018 المعامل على المعامل (1969,TM5-1300) (١٤) ثم من الشكل (١٤) المحال على المعامل الدين الشكل (١٤)  $Ic=F*b*d^3=0.018*12*(0.0682)^3=(389\ inch^4)0.000162m^4$ 

Moment of inertia for cracked section:-

Ia=(Ig+Ic)/2=389+3126/2=(3515inch<sup>4</sup>)0.000731 m<sup>4</sup> Average moment of inertia

ومن الشكل ( $^{""}$ ) ايجاد (1300-1969,TM5) ثم من خلال العلاقة ما بين معدل عزم القصور والمعامل H/L=1.26 يتم ايجاد العلاقة (R-X) العلاقة الدالية ما بين المكافئة والفعلية في المنطقة المرنة – اللدنة.

Determination of the actual and equivalent (R-X) function in the elasto – plastic region.

$$\beta 1 = 0.029$$
 ,  $\beta 2 = 0.055$ ,  $\beta 3 = 0.03$ ,  $\gamma 1 = 0.002$ ,  $\nu = 0.3$ ,  $R = M/B(H)^2$ 

	MN)H	MN)V	MP)V
	$\beta 2$	$\beta$ 3	$\beta$ 1 $V$
Value of	$(12459) 55956 / 0.03H^2$	$(11779)52876/0.055H^2$	$(10629)47742/0.029H^2$
Re (ib/in <sup>2</sup> ) N/m <sup>2</sup>	(415300)1865200/H <sup>2</sup>	(214164)961381/H <sup>2</sup>	(366517)1646275/H <sup>2</sup>

Re=M/  $\beta$  \*H<sup>2</sup>=11779/0.055\*(10.82\*12)<sup>2</sup>=(12.7 psi)88281N/m<sup>2</sup> the first yield at point (2)

MN) V at point (3) =  $0.03*12.7(10.82)^2*144 = (6423 \text{ lb in/in})28841 \text{ N/m}^2$ MP) V At point (1)=  $0.029*12.7 (10.82)^2*144 = (6209 \text{ lb in/in})27880 \text{ N/m}^2$ 

والشكل (٣٤) يمثل مواقع العزوم والمعاملات المؤثره على حدود الجدار الجانبي.

D = flexural Rigidity = Ec.Ia/b  $(1-v^2)$  = (12407843 lb.ft)16824194 N. m Xe = γ-Re-H<sup>4</sup>/D = 0.0018 Deflection at first yield

 $= 0.0018*16.68 (8.52)^4 / 12407843$ 

=( 0.048 inch ) 0.00124 m

الهبوط عند اول خضوع

# خواص الجدار الجانبي عند ثاني خضوع:

بعد أول خضوع نفرض الحالات التالية وحسب متطلبات المصدر (1969,TM5-1300) بعد أول خضوع نفرض الحالات التالية وحسب متطلبات المصدر (Two opposite edges fixed, one edges free and one edge simple supported من الشكل ( $^{\circ}$ ) ( $^{\circ}$ ) ( $^{\circ}$ ) ومن العلاقة  $^{\circ}$ 1.26 اذا يتم ايجاد معاملات الجسائة :-

 $\beta 1=0.073$ ,  $\beta 3=0.078$ ,  $\gamma 1=0.0056$ ,  $\nu=0.3$ 

والشكل (٣٦) يمثل موقع العزوم المؤثره في المرحلة المرنة- اللدنة.

 $\Delta M$  at point (3) = 12459 - 6423 = (6033 lb.in /in )27115 N.m/m  $\Delta M$  at point (1) = 10629 - 6209 = (4420 lb.in/in )19862 N.m/m

 $\Delta R$  (3) =  $\Delta M3/\beta 3H^2 = 6033/0.078(10.82)^2*144 = (4.58 \text{ psi})31874 \text{ Mpa}$  $\Delta R$  (1) =  $\Delta M1/\beta 1H^2 = 4420/0.029*(10.82)^2*144 = (3.59 \text{ psi})24984 \text{Mpa}$ 

so second yield at point(1) Rep = Re+  $\Delta$ R

الحمل المؤدي الى اول خضوع في المرحلة المرنة- اللدنة

Rep =  $12.7 + 3.59 = (16.42 \text{psi}) 113265 \text{ N/m}^2$ 

D = (159074718 lb.ft) 17974567 N.m

 $\Delta X = \gamma 1 * \Delta R * H^4 / D = 0.0056 * 3.59 * (10.82)^4 * (12)^3 / 159074718 = (0.0363 \ in) 0.000923 m$ 

 $Xep = xe + \Delta x = 0.0488 + 0.0363 = (0.0581 in) 0.002121m$ 

# الخضوع النهائي أو (الخضوع الثالث):

من شكل ( $^{\text{TV}}$ ) ( $^{\text{TV}}$ ) ( $^{\text{TV}}$ ) ومن خلال اعتماد 1.26 =  $^{\text{H/L}}$  يتم ايجاد معاملات الجسائة وعلى افتراض ان عنصر الجدار اصبح ذو مسند بسيط لثلاثة حدود ومسند حر من الحد الرابع

 $\beta 1 = 0.078, \gamma 1 = 0.01, \nu = 0.3$  $Ru = (25.39 \text{ psi}) 175187 \text{N/m}^2$ تم ابجادها من جدول (٤)  $\Delta R$ = Ru-Rep=25.39-16.42=(8.97 psi) 61922 N/m<sup>2</sup>  $\Delta X = \gamma 1 * \Delta R * H^4 / D = 0.01 * 8.97 * (10.82)^4 * (12)^3 / 159074718 = (0.16 in)$  $Xp=Xep+\Delta X=0.16+0.058=(0.243 in.) 0.00618m$ XE=Xe(Rep/Ru)+Xep (1-Re/Ru) + Xp (1-Rep/Ru) = (0.158 in)0.004027m.حيث يمثل XE الهبوط المكافئ المستنتج للجدار الخلفي والشكل (38) يوضح منحني المقاومة - الهبوط للجدار الجانبي KE=Ru/Xe =25.38/0.158=160.69 lb/in<sup>3</sup>Equivalent stiffness=effective mass of element من جدول (٥) (1969,TM5-1300)يتم ايجاد:-Effective mass of element:-KLM) elastic = 0.65 - 0.16(L/2H-1) = 0.746KLM) elasto-plastic = 0.65-0.186 (L/2H-1) = 0.762KLM) plastic = 0.5593حبث بتم ابجاده من شكل (٣٩) (1969,TM5-1300) KLM) average = 0.689 Unit mass = weight of concrete  $*Tc/g = 150*0.8210^6 / 32.2*12^3$ =2210.5lb.millsecond<sup>2</sup>/in.<sup>3</sup> Natural period=Tn =  $2*\pi$  [(unit mass) \*KLM/K)]<sup>1/2</sup>  $= (2*3.14*2210.3*0.689/160.69)^{1/2}$  =19.3 mille. Second  $T_0/T_0 = 5.07/19.3 = 0.269$  $P_0 / Ru = 54.07/25.39 = 2.12$ ثم من العلاقة ما بين  $T_0$  و  $P_0$ Ru من الشكل ( ۲۱ ) (1969,TM5-1300) يتم ايجاد المعاملات XM/XE و TM/Tn: XM/XE = 2.4قصبی هبوط عابر (وقتی) XM=2.4\*0.158=(0.379 in)9.6 mm.TM/Tn = 0.42Tm = 0.42\*19.3 = 8.1 mille. Second

TM/T = 8.1/5.07 = 1.59

Correct procedure was used

3 > Tm/T > 0.1

# إيجاد الشد القطري على مسافة (d) من نقطة الاسناد للجدار الجانبي :-

ثم من جدول(٦)(1969,TM5-1300) يتم ايجاد اقصى اجهاد قص في الاتجاه الافقي من المعادلة التالية:

De/L=0.695/8.52=0.08

VUH=3Ru (1-2De/Y) (2-De/Y-2YH-2DeY /LH)/2De/L (6-YH-8De Y/LH) = (19.2 psi) 0.132Mpa

ثم يتم ايجاد أقصى إجهاد قص بالاتجاه العمودي ومن نفس الجدول اعلاه.

De/Y = 0.734/5.52 = 0.1

 $VUV = [3Ru (1-De/Y)^{2}]/[De/Y (5-(4De/Y)] = (131.6 psi) 0.907Mpa$ 

 $Vc = \Phi [1.9(F_c)^{0.5} + 2500 \text{As/bd}] = (95 \text{psi}) 0.655 \text{Mpa}$ 

VUH < Vc: lacing is not required horizontally

VUV>Vc lacing is required vertically

## تصميم حديد القص المتعرج

لتصميم الحديد المتعرج الافقي فالمسافة بين حديد الانثناء المستعرض ( $S_1$ ) تساوي (7.87 inch) 20cm

و المسافة بين مركزي حديد الانتناء الطولى (  $d_{\rm l}$  ) تساوي 20cm . (7.87 inch)

(3/8 inch) 10mm يفرض ان الحديد المتعرج هو بقطر ( $D_o$ ) مساويا

Min. R<sub>1</sub>=3D<sub>0</sub>=3\*3/8inch=(9/8inch) 29mm

 $S_1/d_1 = 7.87/7.87 = 1$ 

 $(2* R_1 + D_o)/ d_1 = 0.33$ 

من شكل ( 22 ) (1969,TM5-1300) يتم ايجاد  $\alpha$  والتي تساوي من شكل ( 22 ) من شكل ( 23 ) من شكل ( 24 ) من شكل ( 24 )

 $Av=(VUV-Vc)* d_l*S_l/\Phi*Fs(sin\alpha+cos\alpha)$ 

= $((131-95)*7.87*7.87)/0.85*60000(0.788+0.615)=(0.0318 in^2) 20.5 mm^2$ min.Av= $0.0015*b_1*S1=0.0015*7.87*7.87=0.093 in^2 > required$ 

يستخدم حديد قطر 10mm (3/8in) الذي يحقق مساحة تساوي 70.9mm<sup>2</sup> (0.11in<sup>2</sup>) الأشكال (٢٣ ، ٢٤، ٢٥ ، ٢٦) ايضا توضح تفاصيل عامة لحديد الانثناء والقص لوجهي الجدار الجانبي.

#### الاستنتاجات

- 1. كما موضح في جداول (R-2) ، (R-2) وجد ان هنالك نقارب ما بين النتائج العملية والنظرية بالنسبة لطبيعة التشقق الحاصل وكذلك بالنسبة للهبوط الثابت والعابر النظري والعملي للجدران الجانبية والخلفية للمنشأ.
- ٢. نسبة المطيلية المستعملة هي (2.0). يوصي الفريق البحثي باعتمادها عند اعتماد أهمية المنشأ من خلال فرض تدمير متوسط (moderate damage)، وذلك لان نسبة المطيليه المستنتجة ( XM/Xe) هي (٣) للجدار الخلفي و ( ٢) للجدران الجانبية وهذا ما يوصي به الفريق البحثي في (single blast wave).
- ٣. أظهرت نتائج الفحص الميداني دقة طريقة التحليل والتصميم الديناميكي للمنشآت المقاومة لموجات العصف الداخلية، ويعتبر التصميم ناجحا لاستيفائه المتطلبات الاساسية المتوخاة المتماثلة بتقارب النتائج النظرية والعملية.
- أظهرت النتائج العملية ان استعمال فو لاذ التسليح المتعرج يؤدي الى تقليل سمك الجدران الجانبية والخلفية للمنشأ من ما يقارب (١,٦٤ قدم) ٥٠سم الى (١,٨٢ قدم) ٢٠سم و هو السمك الاقتصادى للمنشأ.
- ٥. ان المنشأ قد حافظ على استخداميته من خلال عدم حدوث تقشر ( scabbing) للوجه الداخلي وتشظيته (spalling) من الوجه الخارجي لجزء المنشأ ويعود ذلك لفعل طبقتي تسليح الانثناء وعمل الحديد المتعرج بينهما (lacing).
- 7. ان جزء المنشأ قد ابدى سعة تحمل (strength capacity) عالية لجميع اجزاءه وكذلك في نقاط الثقاء العناصر الانشائية لم تظهر اي ضعف او انهيار عند الفحص وهذا يدل على تكامل (integrity) جزء المنشأ .
- ٧. اظهرت عناصر جزء المنشأ قابلية مطيليه (ductility) عالية امكن ملاحظتها من خلال منحني العلاقة ما بين الاجهاد والهبوط حيث ابدت الجدران الجانبية لدونة عالية وذلك من خلال اقصى هبوط حاصل مع ثبات تحمل الاجهاد وهذا ما يؤكده المصدر (1300-1969,TM5).
- ٨. لوحظ ان قابلية العناصر الانشائية ( الجدار الخلفي والجدران الجانبية ) هي عالية
   لامتصاص الطاقة وذلك من خلال المساحة المحددة بمنحنى العلاقة ما بين الاجهاد والهبوط

- 9. لوحظ ان الجدران الجانبية قد ابدت هبوط وقتي ومنسق اعلى من الجدار الخلفي وذلك لان الشروط المحددة للجدار الجانبي اي وجود فتحة التهوية والتنفيس (venting) او النهاية الحرة للجدار الجانبي تجعله اقل تحملا للاجهاد واكثر هبوطا.
- ١. بالرغم ان عملية تهيئة وتركيب حديد القص المتعرج هي عملية صعبة وتحتاج الى تقنية اكبر الا ان هذا النوع من التركيب لحديد القص يمتاز بخاصية الاستمرارية والتتابع (continuity) الذي ابداه في مقاومة اجهادات القص التي تولدت نتيجة الضغوط الديناميكية العالية لموجات العصف .
- 11. ان حديد القص المتعرج امتاز بان له القابلية على نشر او عمل رد فعل منتظم للعضو الانشائي عندما يتم تعريضه الى احمال عصف وهي بطبيعة الحال غير منتظمة حيث ان سطح العضو الانشائي ذو بعد غير متساوي عن نقطة العصف وان رد الفعل كان واضحا من خلال التصرف المنتظم والمتجانس للجدار الخلفي والجداران الجانبيان.
- 11. ان لحديد القص المتعرج تأثير واضح على مقدار الهبوط العابر للجدران الجانبية والجدار الخلفي وهذه الخاصية تكون مرغوبة في المنشأت التي تتعرض الى موجات عصف تكون الحاجة الى امتصاص هذه الضغوط الديناميكية ضرورية من خلل استجابة العضو الانشائي المؤقتة لتلك الاحمال وهذا ما تم استتاجه بالفعل من هذا البحث.

جدول (R-1): معامل الزيادة الديناميكي للخرسانة وحديد التسليح (1300-1969,TM5)

الاجهادات	معامل الزيادة الديناميكي	
(Stresses)	Dynamic Increase Factor	
للثني (For bending)	1.1	حديد التسليح
(For shear) للقص	1.10	
للانضغاط (For compression)	1.25	
للشد القطري (For Diag.Tension)	1.00	
للقص المباشر (For Direct shear)	1.10	الخرسانة
للترابط (For Bond)	1.00	

جدول (R-2): مقارنة ما بين النتائج العملية والنظرية للهبوط المتبقي والعابر في اقصى نقطة متوقعة للهبوط في جدران المنشأ (انج)

` , "	أقصىي هبوط، al Deflection	عابر (وقتي) Max. Tr	عنصر المنشأ	
نظري عملي Experimental Theoretical		عملي Experimental	# "	
0.136 ( inch )	0.137 (inch)	0.405( inch )	•,٣١٥( inch )	الجدار الخلفي
0.226 ( inch )	0.177 ( inch )	0.44 ( inch )	0.336 (inch)	الجدران الجانبية

جدول (R-3): مقارنة لانماط التشقق النظري والعملي للجدار الخلفي والجدران الجانبية للمنشأ

		;	, ,
	نمط التشقق العملي	نمط التشقق النظري	العنصر الإنشائي
Exp	erimental crack pattern	Theoretical crack pattern	
H=10.82	5.31ft 5.31ft 5.51ft 4.26ft 4.26 ft Free	L=8.52ft 5.31ft Y=5.51ft 4.26 ft 4.26 ft Free	الجدار الجانبي
-	0.055)1.397mm انج)		
**	L=(10.82ft) 3.3m	L=(10.82ft) 3.3m Y=(4.26ft) 2.6m X X	الجدار الخلفي

		Elastir and e	elasto-plastic ranges (support	conditions)		Plastic range	
Values of L/H	All supports fixed	One support simple, other supports fixed	Two supports simple, other supports fixed	Three supports simple, other supports fixed	All supports simple	Before partial failure	After partial failure
All	0.65	0.66	-	-	0.66		0.6
L/H < 0.5	0.77	0.77	0.79	_	0.79		
0.5≤L/H≤2	$0.65 - 0.16 \left( \frac{L}{2H} - 1 \right)$	$0.66-0.144\left(\frac{L}{2H}-1\right)$	$0.65-0.186\left(\frac{L}{2H}-1\right)$	-	$0.66-0.175\left(\frac{L}{H}-1\right)$	See figure 6–5	0.6
L/H≥2	0.65	0.66	0.65	-	0.66		
L/H=1	0.61	0.61	0.62	0.63	0.63		
1≤ <i>L/H</i> ≤2	$0.61 + 0.16 \left(\frac{L}{H} - 1\right)$	$0.61+0.16\left(\frac{L}{H}-1\right)$	$0.62+0.16\left(\frac{L}{N}-1\right)$	$0.63+0.16\left(\frac{L}{H}-1\right)$	$0.63 + 0.16 \left(\frac{L}{H} - 1\right)$		0.0
L/H≥2	0.77	0.77	0.78	0.79	0.79		

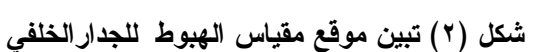
Edge conditions	Yield line location	Limite	Ultimate unit resistance ra
Two adjacent edges sup- ported and two edges free.		z≤L	$\frac{5(M_{NN}+M_{NT})}{z^4} \text{ or } \frac{(M_{NN}+M_{NT})(3L+2z)}{H^3(3L-2z)}$
-		y≤H	$\frac{5(M_{YS}+M_{YF})}{y^2} \text{ or } \frac{(M_{SS}+M_{SF})(3H+2y}{L^2(3H-2y)}$
Three edges supported and one edge free		$z \leq \frac{L}{2}$	$\frac{5(M_{RN}+M_{RP})}{z^2} \text{ or } \frac{(M_{VN}+M_{VP})(3L+4z)}{H^2(3L-4z)}$
=	1	y≤H	$\frac{S(M_{YF}+M_{YF})}{y^2} \text{ or } \frac{4(M_{HF}+M_{HF})(6H-y)}{D(3H-2y)}$
Four edges supported		$x \le \frac{L}{2}$	$\frac{\delta(M_{RH}+M_{RP})}{z^4} \text{ or } \frac{\delta(M_{YH}+M_{YP})(3L-z)}{H^4(3L-4z)}$
=		$y \le \frac{H}{2}$	$\frac{5(M_{YN}+M_{YP})}{y^8} \text{ or } \frac{8(M_{ZN}+M_{RP})(3H-2)}{12(3H-4y)}$

جدول(4)اقصى تحمل لعنصر جدار مسلح باتجاهين جدول(5)عامل الحمل والكتلة لعنصر جدار مسلح باتجاهين

Yield location	Limits	Ultimate horizontal shear stress ***********************************	Limits	Ultimate vertical shear stress vay
<del>- X - </del>	0 ≤ d <sub>4</sub> /x ≤ ½	$\frac{3r_v(1-d_s/x)^4}{d_s/x(5-4d_v/x)}$	0 ≤ d <sub>e</sub> /H ≤ }	$\frac{3r_{u}(1-d_{e}/H)(2-x/L-d_{e}x/HL)}{d_{e}/H(6-x/L-4d_{e}x/HL)}$
	$\frac{1}{2} \le d_s/x \le 1$	$\frac{\tau_n(1-d_s/x)}{2(d_s/x)}$	1 ≤ d,/H ≤ 1	$\frac{r_*(1-d_*/H)(2-x/L-d_*x/HL)}{2d_*/H(1-d_*x/HL)}$
**********	0 ≤ d <sub>*</sub> /L ≤ }	$\frac{3r_{u}(1-d_{s}/L)(2-y/H-d_{s}y/LH)}{d_{u}/L(6-y/H-4d_{s}y/LH)}$	0 ≤ d <sub>*</sub> /y ≤ ½	$\frac{3r_*(1-d_*/y)^2}{d_*/y(5-4d_*/y)}$
1 × × × × × × × × × × × × × × × × × × ×	$\frac{1}{2} \le d_e/L \le 1$	$\frac{r_{u}(1-d_{u}/L)(2-y/H-d_{u}y/LH)}{2d_{u}/L(1-d_{u}y/LH)}$	1 ≤d./y≤1	$\frac{r_*(1-d_*/y)}{2d_*/y}$
l <del>×</del> -l	$0 \le d_s/x \le \frac{1}{2}$	$\frac{3r_{u}(1-d_{e}/x)^{2}}{d_{e}/x(5-4d_{e}/x)}$	0 ≤d•/H ≤ §	$\frac{3r_{\rm u}(1-d_{\rm e}/H)(1-x/L-d_{\rm e}x/HL)}{d_{\rm e}/H(3-x/L-4d_{\rm e}x/HL)}$
	$\frac{1}{2} \le d_e/x \le 1$	$\frac{r_*(1-d_*/x)}{2(d_*/x)}$	$\frac{1}{2} \le d_*/H \le 1$	$\frac{r_u(1-d_v/H)(1-x/L-d_vx/HL)}{d_v/H(1-2d_vx/HL)}$
**************************************	0 ≤d,/L ≤ }	$\frac{3r_*(1-2d_*/L)(2-y/H-2d_*y/LH)}{2d_*/L(6-y/H-8d_*y/LH)}$	0≤d₁/y≤}	$\frac{3r_*(1-d_*/y)^2}{d_*/y(5-4d_*/y)}$
AXXXXXXXXXXXXXXXXXXXXXXXXXXXXXXXXXXXXX	1 ≤d./L≤1	$\frac{r_*(1-2d_*/L)(2-y/H-2d_*y/LH)}{4d_*/L(1-2d_*y/LH)}$	$\frac{1}{2} \le d_*/y \le 1$	$\frac{\tau_u(1-d_v/y)}{2d_v/y}$
,   - X -	0 ≤d₂/x≤⅓	$\frac{3r_*(1-d_*/x)^3}{d_*/x(5-4d_*/x)}$	0 ≤ d <sub>*</sub> /H ≤ ‡	$\frac{3r_*(\frac{1}{2}-d_*/H)(1-x/L-2d_*x/HL)}{d_*/H(3-x/L-8d_*x/HL)}$
	$\frac{1}{2} \le d_{\bullet}/x \le 1$	$\frac{r_*\left(1-d_*/x\right)}{2d_*/x}$	1 ≤ d,/H ≤ 1	$\frac{r_{*}(\frac{1}{2}-d_{*}/H)(1-x/L-2d_{*}x/HL)}{d_{*}/H(1-4d_{*}x/HL)}$
-	0≤d <sub>4</sub> /L≤t	$\frac{3r_{*}(\frac{1}{2}-d_{*}/L)(1-y/H-2d_{*}y/LH)}{d_{*}/L(3-y/H-8d_{*}y/LH)}$	0≤d <sub>*</sub> /y≤⅓	$\frac{3r_*(1-d_*/y)^3}{d_*/y(5-4d_*/y)}$
- L	1 ≤ d./L ≤ 1	$\frac{r_{u}(\frac{1}{2}-d_{v}/L)(1-y/H-2d_{v}y/LH)}{d_{v}/L(1-4d_{v}y/LH)}$	} ≤ d • / y ≤ 1	$\frac{\tau_u(1-d_v/y)}{2d_v/y}$

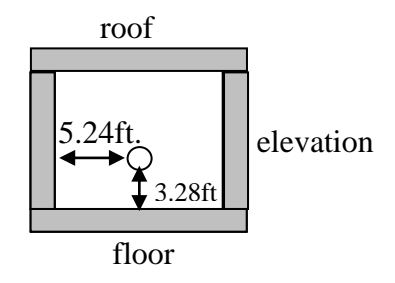
جدول (6) اقصى اجهاد قص المقابل لسمك المؤثر من المسند لعنصر جدار مسلح باتجاهين

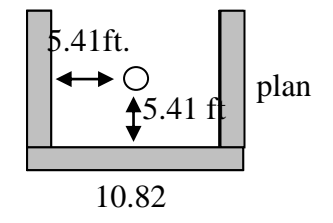




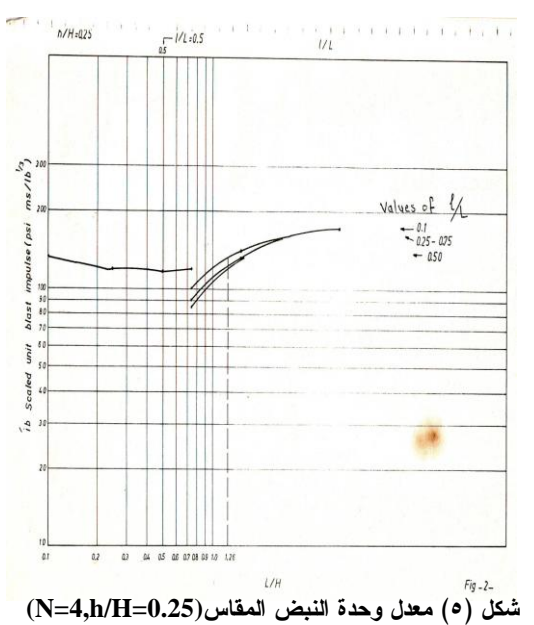


شكل(١) تبين موقع مقياس الهبوط للجدران الجانبية

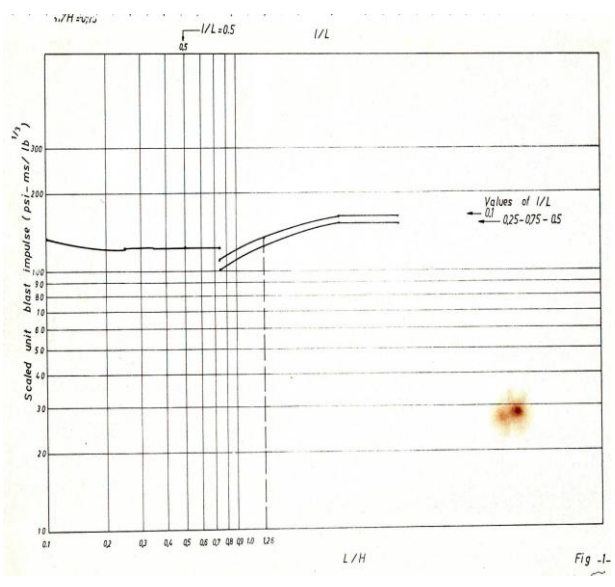




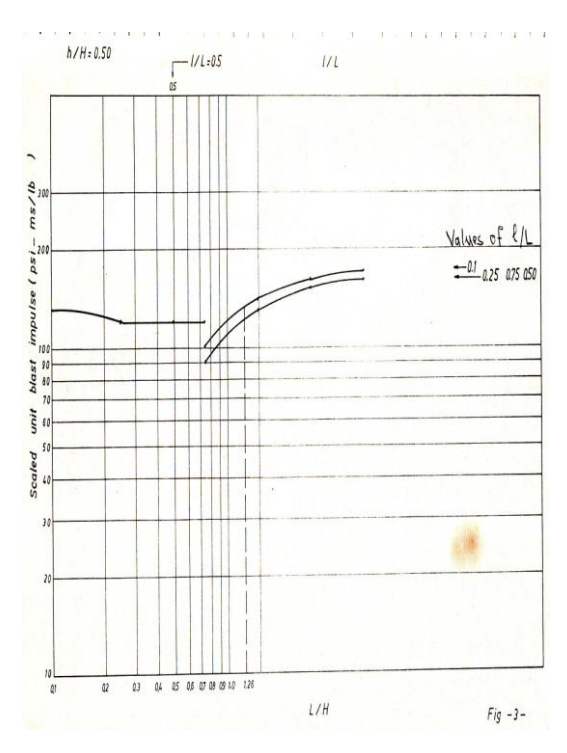
شكل (٣) مسقط افقي ومقطع عمودي للجدار الخلفي وموقع الحشوة



لقيم مختلفة من L/H و L/H

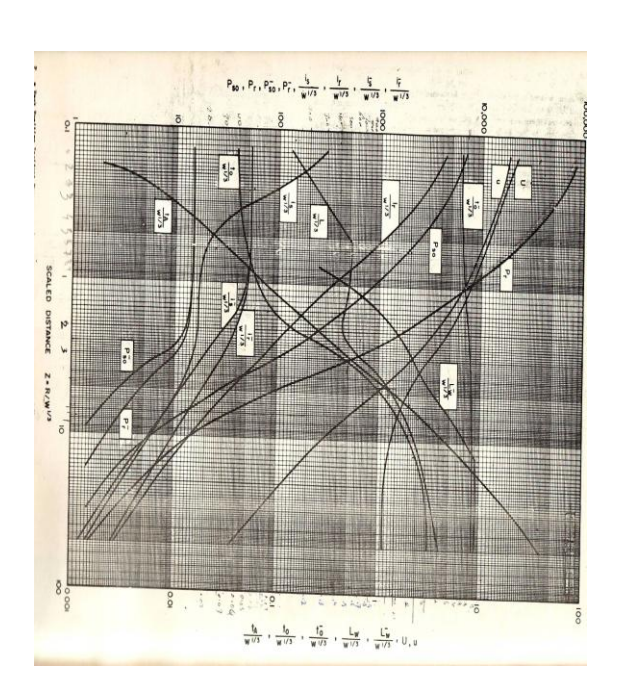


شكل (٤) معدل وحدة النبض المقاس (N=4,h/H=0.15) لقيم مختلفة من L/H و L/H

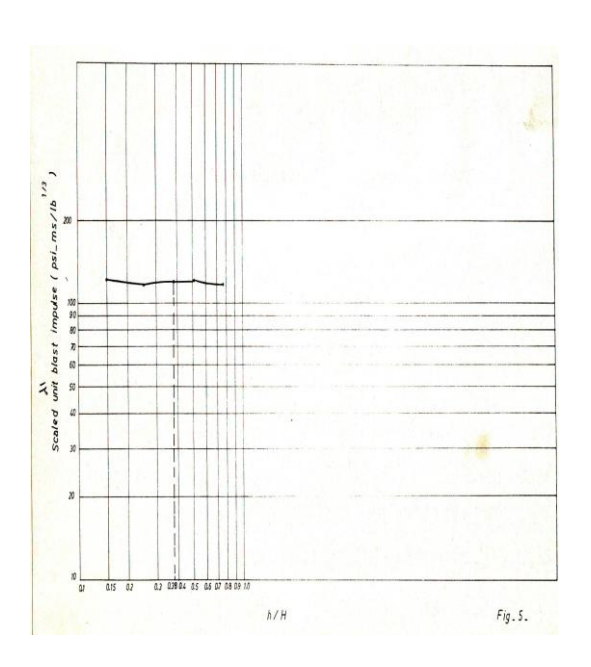


(N=4,h/H=0.5) شكل (V) معدل وحدة النبض المقاس (L/H و L/H

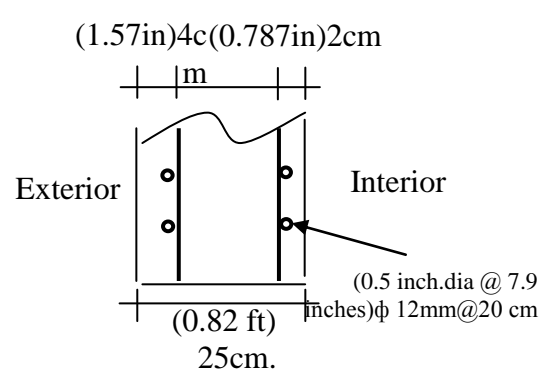
شكل (٦) معدل وحدة النبض المقاس (N=4,h/H=0.75) لقيم مختلفة من L/H و



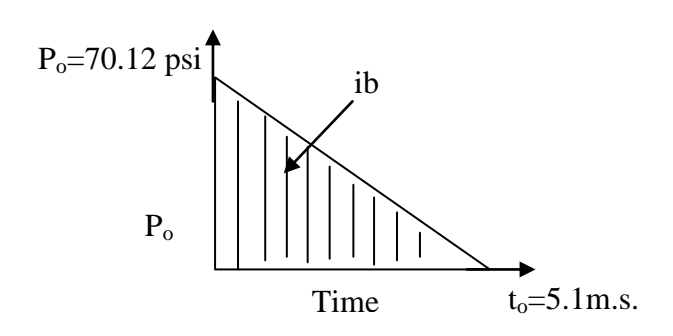
شكل (٩) العناصر المؤثرة على موجة العصف



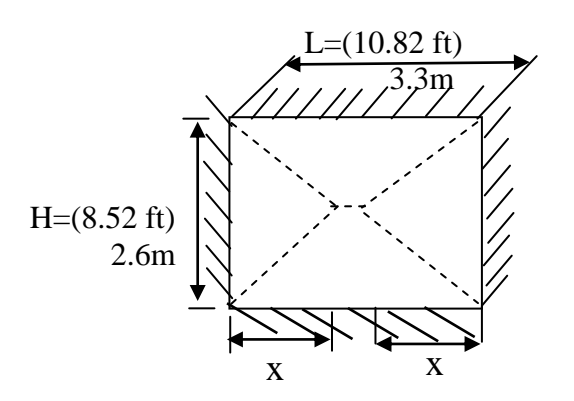
شكل (٨) العلاقة بين المعامل وبين معدل وحدة النبض و المقيس h/H



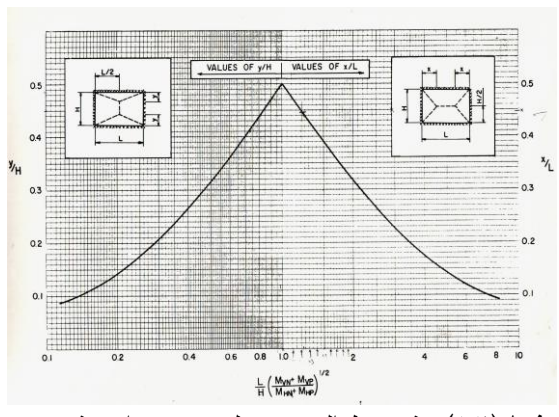
شكل (11) تفاصيل حديد التسليح لمقطع عمودي في الجدار



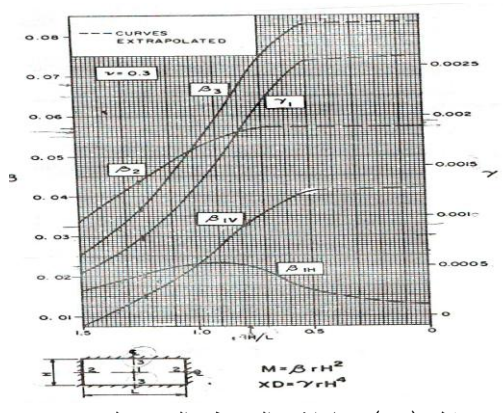
شكل (10) العلاقة ما بين ضغط العصف وامد بقائه على الجدار الجانبي



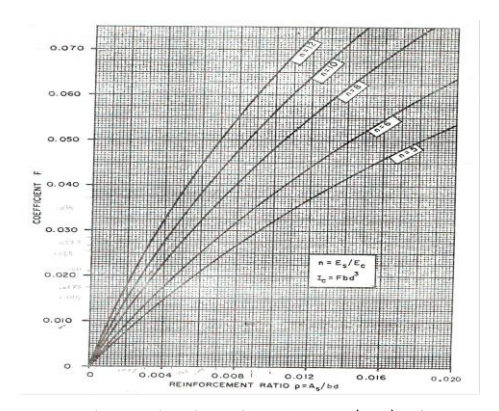
شكل (١٣) يبين مواقع خطوط الخضوع



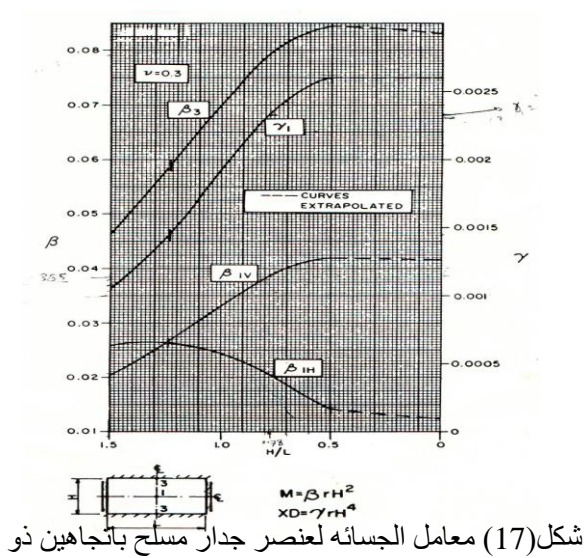
شكل (۱۲)موقع خط الخضوع لعنصر جدار مثبت من أطر افة الأربعة



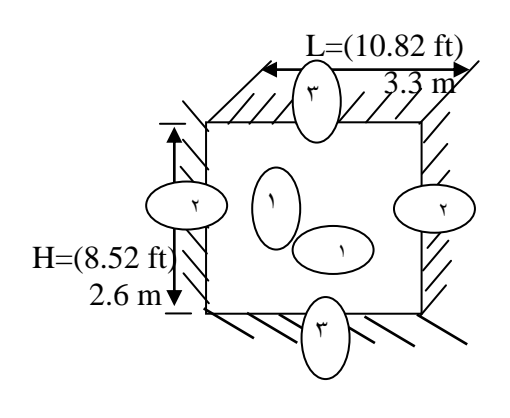
شكل (١٥) معاملات الهبوط والعزوم لعنصر جدار مسلح باتجاهين وذو اسناد مقيد من حدودة الاربعة



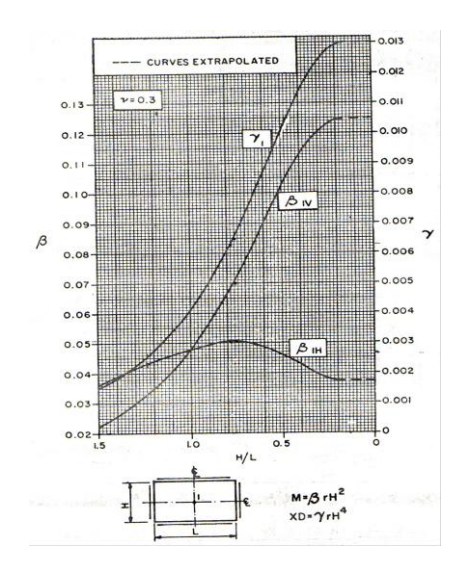
شكل (١٤) معاملات الهبوط والعزوم لعنصر جدار مسلح باتجاهين ومقيد من أطرافه الأربعة



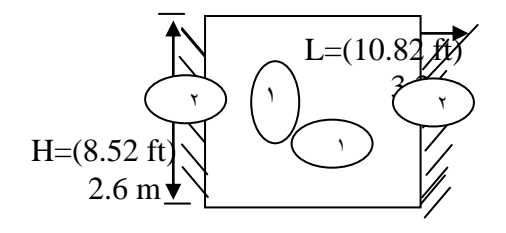
اسناد مقيد من حدين متقابلين واسناد بسيط للحدين الاخرين



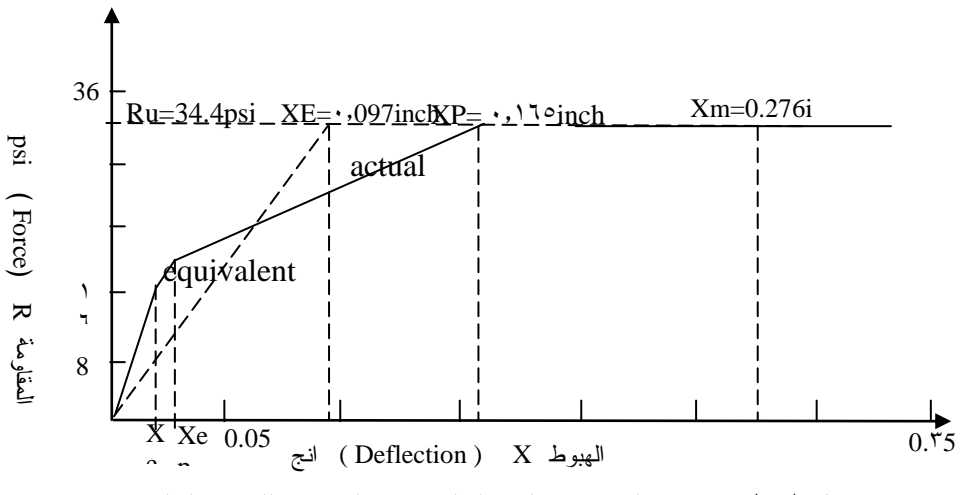
الشكل (١٦) يمثل موقع العزوم المسلطة على الجدار



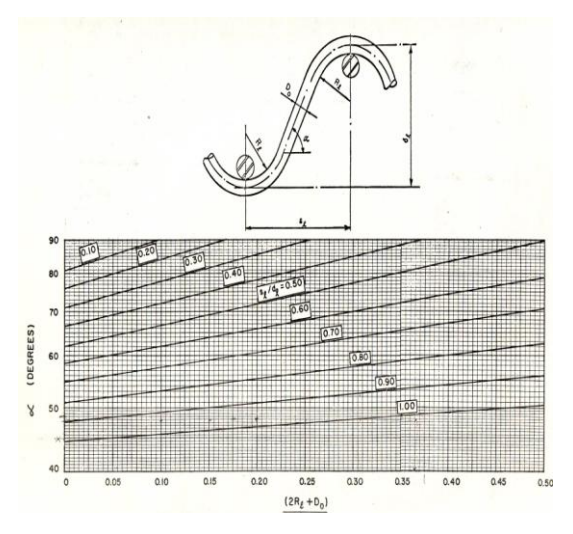
شكل (19) معامل الجسائه لعنصر جدار مسلح باتجاهين ذو اسناد بسيط من حدوده الاربعة



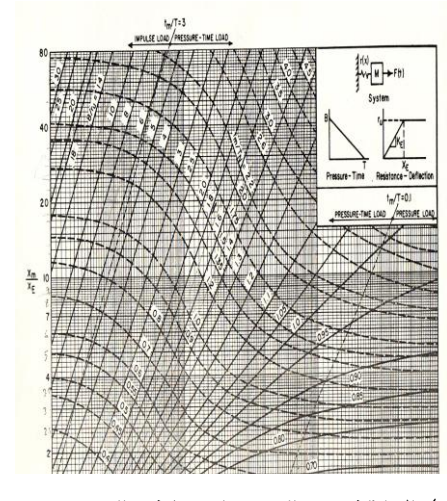
الشكل (١٨) موقع العزوم المؤثرة في المرحلة المرينه- اللدنه



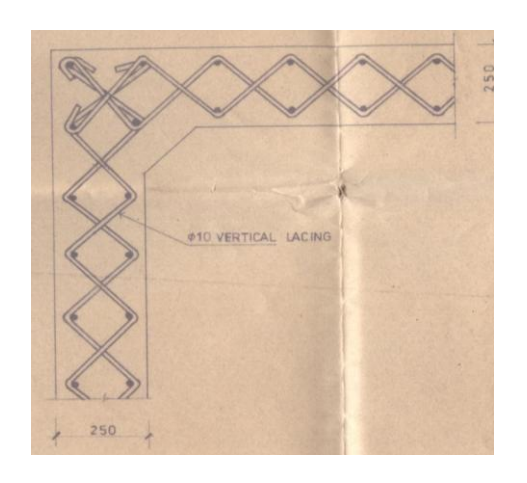
شكل (٢٠): منحني المقاومة- الهبوط المكافئ والمستنتج للجدار الخلفي



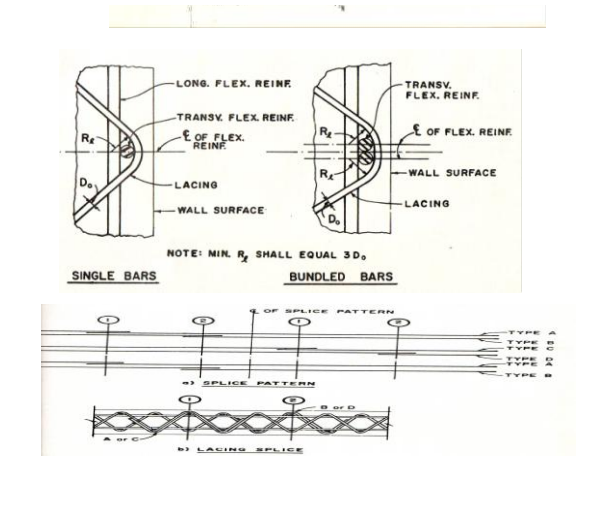
شكل ( $\Upsilon\Upsilon$ )ز اوية ميلان ( $\alpha$ ) لحديد القص المتعرج



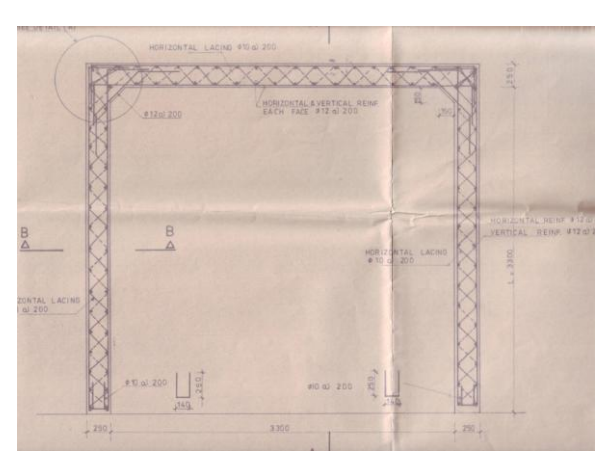
شكل (٢١) العلاقة بين اقصى استجابة واقصى زمن



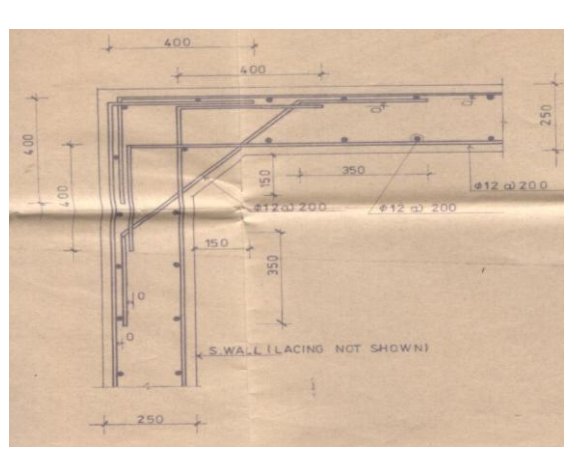
شكل (٢٤) تفاصيل الحديد المتعرج للجدران الجانبية والجدار الخلفي



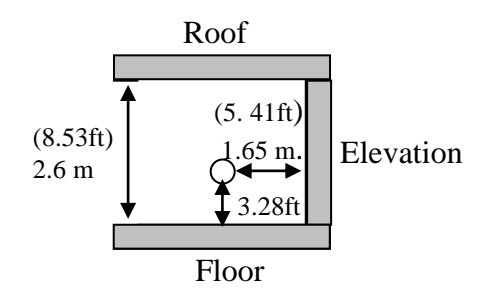
شكل (٢٣) تفاصيل عامة لحديد القص المتعرج

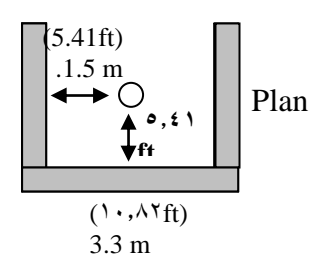


شكل (٢٦) تفاصيل حديد تسليح الانثناء والقص للجدران الجانبية والجدار الخلفي

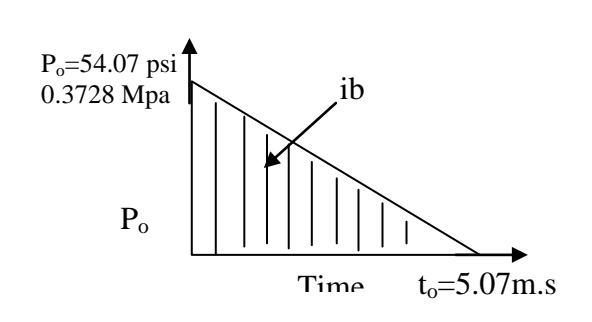


الشكل(٢٥)تبين تفاصيل حديد التسليح فيشكل المفاصل مابين الجدار الخلفي والجدران الجانبية

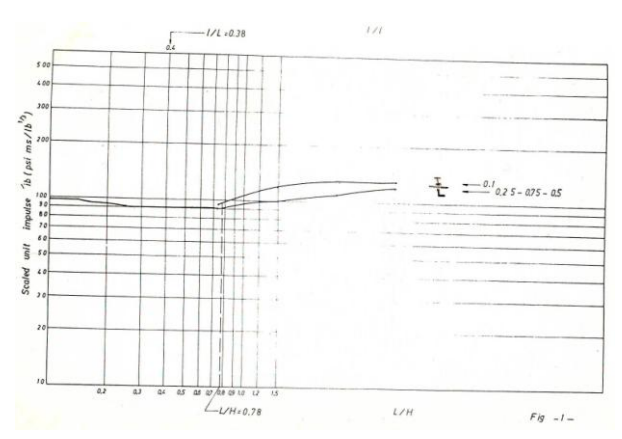




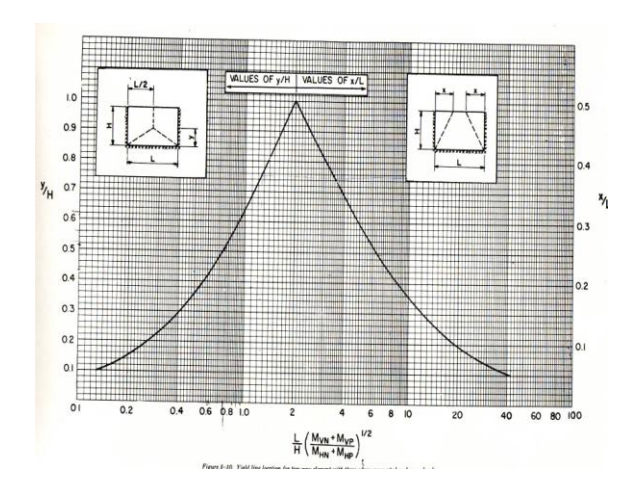
الشكل (٢٧) مسقط افقي ومقطع عمودي للجدار الجانبي وموقع الحشوة



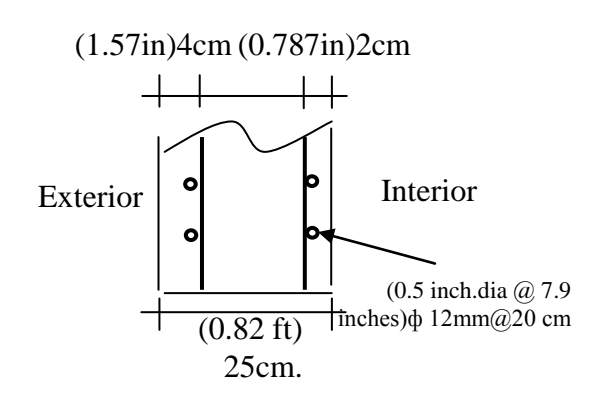
شكل (٢٩) العلاقة ما بين ضغط العصف وامد بقائه على الجدار الجانبي



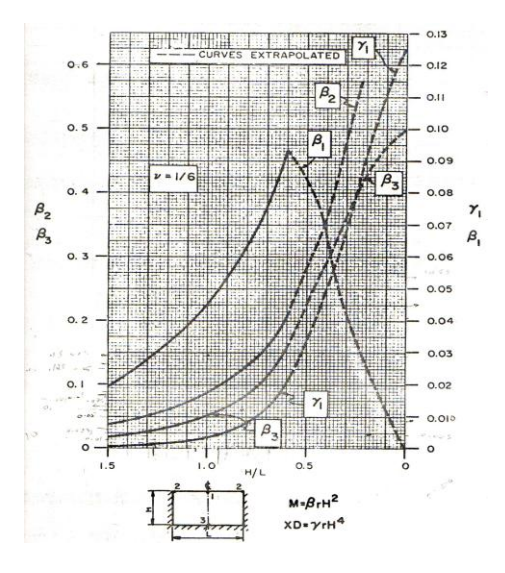
شكل (٢٨) معدل وحدة النبض المقاس لقيم مختلفة من (N=3,h/H=0.75) و L/H 1/L=0.38



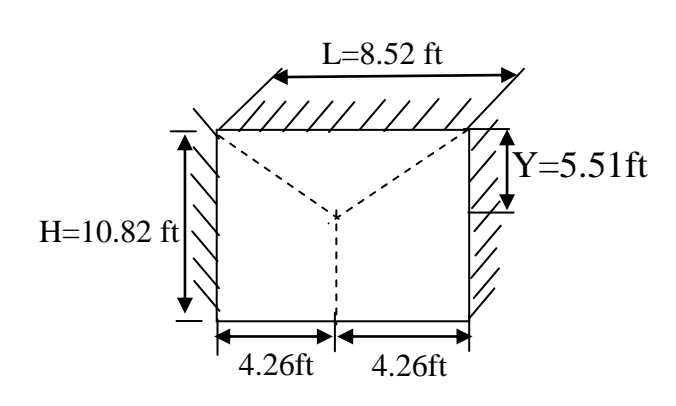
شكل ( ٣١) موقع خط الخضوع لعنصر جدارمقيد من ثلاثة حدود وحر من الحد الرابع



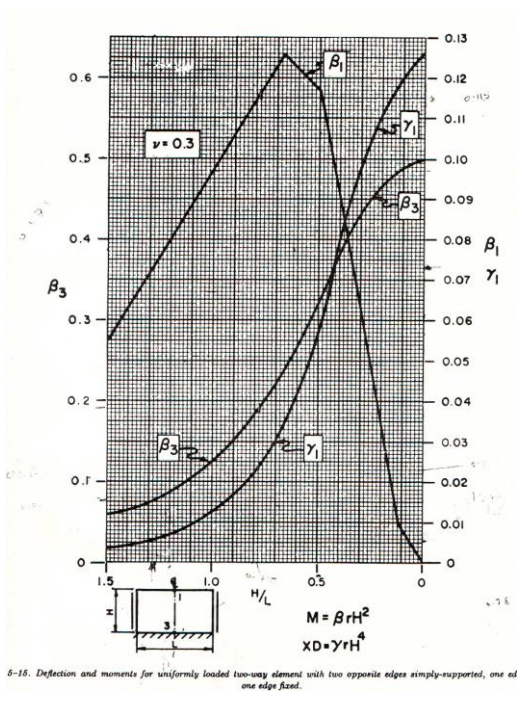
شكل (٣٠) تفاصيل حديد التسليح لمقطع عمودي في الجدار الجانبي

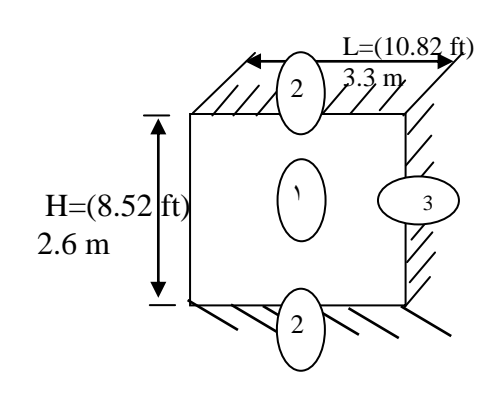


شكل ( ٣٣ ) معاملات الجسائه لعنصر جدار مسلح باتجاهين وذو اسناد مقيد من ثلاثة حدود وحر من الحد الرابع



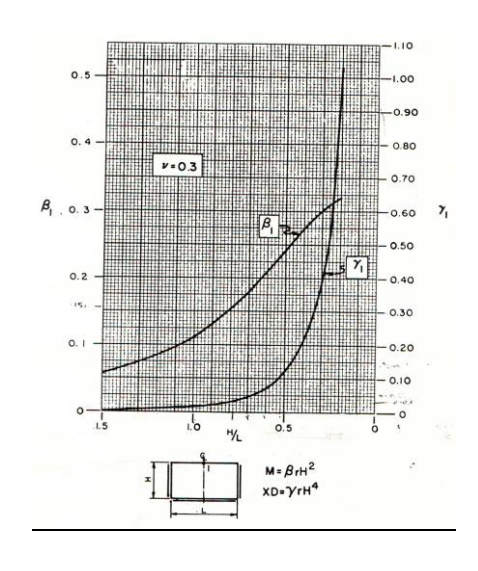
شكل (٣٢) يبين مواقع خطوط الخضوع للجدار الجانبي

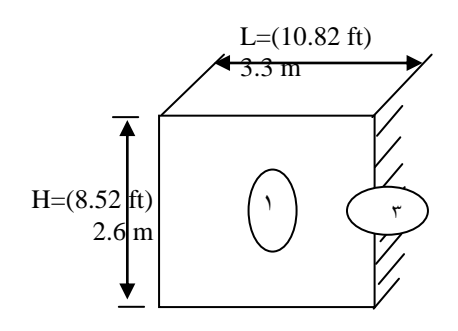




شكل ( ٣٥ ) معاملات الجسائه لعنصر جدار مسلح باتجاهين وذو اسناد مقيد من حد واحد وحر من الحد الرابع واسناد بسيط من الحدين الآخرين

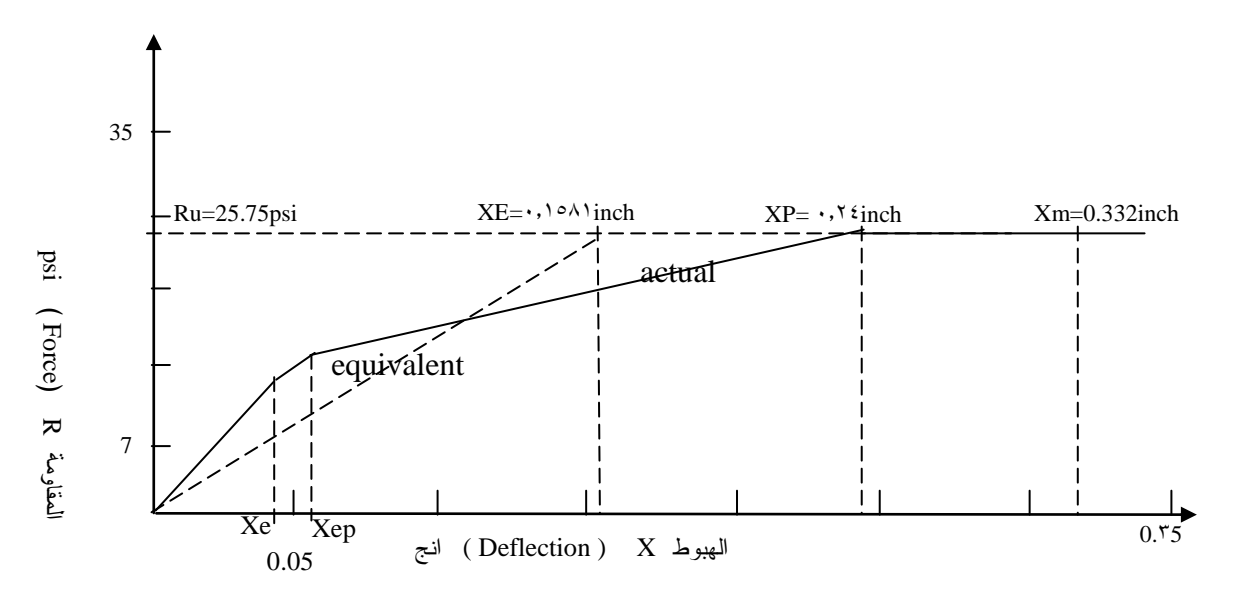
الشكل (٣٤) يمثل موقع العزوم المسلطة على الجدار الجانبي



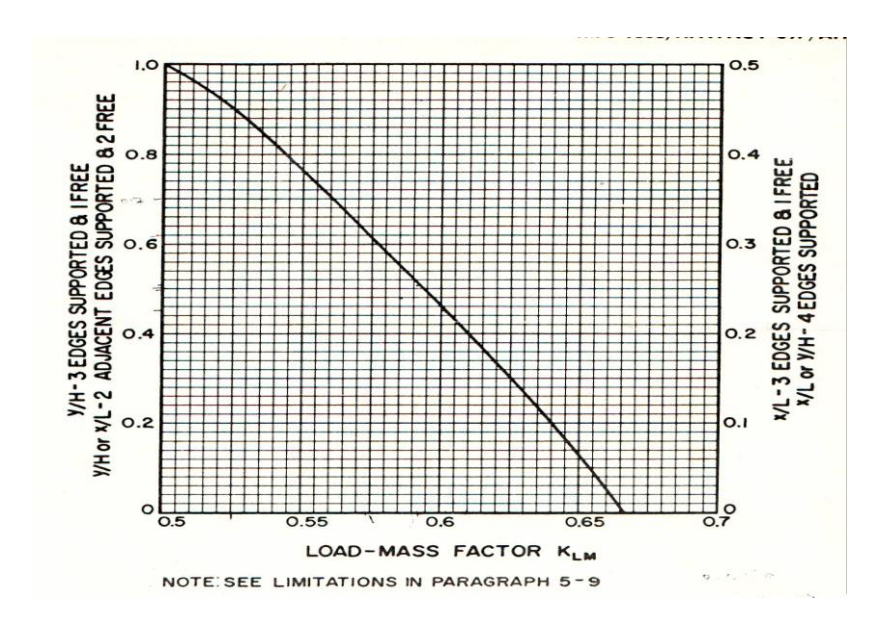


شكل (٣٧) معاملات الجسائه لعنصر جدار مسلح باتجاهين وباسناد بسيط من ثلاثة حدود وحر من الحد

الشكل (٣٦) موقع العزوم المؤثرة في المرحلة المرنه اللدنه



شكل (٣٨): منحني المقاومة - الهبوط المكافئ والمستنتج للجدران الجانبية



شكل (٣٩) عامل الحمل والكتلة لعنصر جدار مسلح باتجاهين وفي المرحلة اللدنه

## **References**

- Amer, J.,(1977): Special Provisions for Impulsive and Impactive Effects, Concrete Institute, February.
- Baker, W.E., (1983): Explosions Hazards and Evaluations, Elsevier Scientific Publishing Company, New York.
- Biggs, J. M.,(1964): Introduction to Structural Dynamics ,Mc Grow-Hill Book Company, New York.
- Cheng, N.,(2001): Matrix Analysis of Structural Dynamics, Marcel Dekker Inc.,New York.
- Dari, H.,(2004): Finite Element Analysis Shell Structures under Blast Loads, MSc. Thesis, Military Engineering College. Baghdad, Iraq.
- Dobbs, No and COHEN, E.,(1976): Novel Technique and Response Tests of Reinforced Concrete Structures Subj`ected to Blast Loads, Paper P.24-17, Detroit.
- Hen Rych, J., (1982): The Dynamics of Blast Pressure and its Use, New York.
- Keenan, W.A., (1969): Strength and Behavior of Laced Reinforced Concrete Slabs Under Static and Dynamic Loads" NAVAL CIVIL Engineering Laboratory Part Huenem, California Technical Report R620.
- Neville, A.M.,(2005): Properties of Concrete, Third Edition, Pitman Publishing Company Limited, London.
- Park, P. and Paulay, T.,(1975): Reinforced Concrete Structures, John Wiley And Sons, Inc., New York.
- Paz, M., Leigh, W., (2004): Structural Dynamics Theory and Computation, Springer Publishing Company Limited, USA.
- Roy, H.E. and Sozen, A.M.,(1964): Ductility of Concrete" ASCE-ACI Miami, November.
- TM5-1300,(1969): Structures to Resist the Effects of Accidental Blast Pressure, New York, June.
- TM5\_855.1,(1986): Technical Manual, Fundamentals of Protective Design,New York, November.
- Watson, A.J. and Thiena, A.,(1982): Reinforced Micro Concrete Beams Under Impact Loading" BAM Proceeding Inter Association Symposium Concrete Structures Under Impact and Impulsive Loading, Berlin (west). June 2-4.

Notations	الرموز
W	وزن الحشوة (باوند)
fc	مقاومة انضغاط الخرسانة ( باوند /انج <sup>٢</sup> )
fy	مقاومة خضوع الحديد ( باوند /انج <sup>٢</sup> )
RA	موقع الحشوة بالنسبة للجدار المراد اختياره (قدم )
L,H	ابعاد نتعلق بالجدار المراد اختياره
l,h	ابعاد تتعلق بموقع الحشوة من السطوح المجاورة العاكسة (قدم)
Z	معامل البعد لاي نقطة على الجدار المراد اختياره عن نقطة العصف (قدم / باوند )
i b	معامل وحدة العصف النبضي (باوند / انج ملي ثانية)
tA)A	زمن وصول موجة العصف الى اقرب نقطة من الجدار (ملي ثانية)
tA)F	زمن وصول موجة العصف الى ابعد نقطة من الجدار (ملي ثانية)
t <sub>o</sub> )F	زمن بقاء موجة العصف ( الحمل المسلط ) على ابعد نقطة من الجدار (ملي ثانية)
$t_{\rm o}$	الزمن الكلي لبقاء الحمل المسلط (موجة العصف) على الجدار (ملي ثانية)
R	(المسافة القطرية) وهي المسافة من نقطة العصف الى ابعد نقطة في الجدار (انج)
Po	ضغط العصف (باوند / انج <sup>۲</sup> )
Tc	سمك الجدار الكلي (قدم)
a	عمق محور الاجهاد (قدم)
$\rho = 0.0025$	نسبة حديد التسليح
dp)H	عمق المقطع من مركز حديد الشد الى الحافة العليا للمقطع في منطقة العزم الموجب افقيا (قدم)
dp)V	عمق المقطع من مركز حديد الشد الى الحافة العليا للمقطع في منطقة العزم الموجب
	عموديا(قدم)
dN)H	عمق المقطع من مركز حديد الشد الى الحافة العليا للمقطع في منطقة العزم السالب افقيا (قدم)
dN)V	عمق المقطع من مركز حديد الشد الى الحافة العليا للمقطع في منطقة العزم السالب
DIE	عمودیا (قدم)
DIF	معامل الزيادة الديناميكي
fdc	مقاومة الخضوع الديناميكية للحديد (باوند/انج)
MP)H	العزم الموجب بالاتجاه الاققي (باوند.انج/ انج)
MP)V	العزم الموجب بالاتجاه العمودي (باوند.انج/ انج)
MN)H	العزم السالب بالاتجاه الافقي ( باوند.انج/ انج)

MN)V	العزم السالب بالاتجاه العمودي ( باوند.انج/ انج)
x,y	احداثيات موقع خط الخضوع (قدم)
Ru	مقاومة الجدار القصوى لاجهاد العصف (باوند/انج )
Xe	الخضوع الذي يسببه الاجهاد في المرحلة المرنة ( انج )
Re	الاجهاد في المرحلة المرنة للجدار (باوند/انج)
$\gamma, \beta 1H, \beta 1V, v, \beta 2, \beta 3$	معاملات
$\Delta m$	التغيير في العزم اي العزم المتبقي من المرحلة المرنة الى المرحلة المرنة-اللدنة (باوند.انج)
$\Delta R$	المقاومة ما بين المرحلة المرنة والمرحلة المرنة-اللدنة (باوند/انج)
Rep	المقاومة في المرحلة المرنة-اللدنة (باوند/انج <sup>٢</sup> )
$\Delta X$	التغيير في الهبوط ما بين مرحلتين (انج)
xp	الهبوط في المرحلة اللدنة (انج)
XE	اقصىي هبوط مكافئ للجدار (انج)
KE	الجسائه المكافئة للجدار (باوند/انج <sup>٣</sup> )
$T_{N}$	(فترة الاهتزاز) ، التردد الطبيعي للاهتزاز (ملي ثانية)
Tm	اقصى زمن لحدوث اقصى هبوط عابر (ملي ثانية)
KLM	عامل الحمل والكتلة
Xm	اقصىي هبوط عابر (وقتي) (انج)
de	السمك المؤثر في اي مقطع من الجدار (انج)
VuV	اجهاد القص عموديا (باوند/انج <sup>۲</sup> )
VuH	اجهاد القص افقيا (باوند/انج <sup>۲</sup> )
N	عدد السطوح العاكسة المجاورة والملاصقة للجدار المراد اختباره
$L_1$	طول الحديد المتعرج بين نقطتي الانثناء (انج)
D <sub>o</sub>	قطر الحديد المتعرج ( انج )
α	زاوية ميلان الحديد المتعرج ( درجة )
$S_1$	المسافة الافقية بين نقطتي انثناء الحديد المتعرج (انج)
$d_1$	المسافة العمودية بين نقطتي الانثناء للحديد المتعرج (انج)

# Analysis and design of reinforced concrete walls under the effect of blast loading

Saad F. Salih\* khaith M. Hassan\*\* Hassan k. Salih \*\*\*

\*College of engineering - University of Kirkuk

\*\*Ministry of rebuilding and housing

\*\*\*Ministry of science and technology

#### **Abstract**

The aim of this study is to investigate a procedure for the analysis and design of reinforced concrete walls (back and two sides) as part of the structure to resist internal blast pressure. The effect of the blast pressure on the strength, serviceability, ductility, energy absorption capacity of reinforced concrete members (back and two side walls) and their behavior has been studied. This evaluation will specify the required thickness of the two side walls and back walls as part of the structure in addition to the quantity, shape and connection mechanism of steel reinforcement. To achieve the goal of this study, all the variables can be evaluated, experimental program was set up. It was intended to carry out a field test for the structure (box room) which is made of reinforced concrete having the internal dimensions of 3.3m\*3.3m\*2.6m (10.82) \*10.82\*8.52) ft. with strip footing having the dimensions 0.53m (1.76 ft). width and 0.54m (1.8 ft), thickness. The structure was subjected to a blast pressure due to a charge of weight 1.5kg ("," ib), for a recommended degree of protection in terms of ductility ratio = 2.00. The objective of the test was justified since no scabbing at all was observed. It was found that the thickness 25cm (0.82 ft), for side walls and back wall can keep all the outside individuals, equipment and buildings safe and away from the danger of fire and fragmentation during the period of blast pressure. Good agreement was found to exit between the theoretical and the experimental results.